

UDC 621.45.034;
614.7;
551.5

航空宇宙技術研究所資料

TECHNICAL MEMORANDUM OF NATIONAL AEROSPACE LABORATORY

TM-328

新形式ガスタービン燃焼器の研究

(第3報 環状燃焼器 AS-250 の特性)

田丸 卓・鈴木邦男・小倉五郎
黒沢要治・石井浅五郎

1977年4月

航空宇宙技術研究所
NATIONAL AEROSPACE LABORATORY

項目	担当者
設計	田頭 健*, 中野 静嘉*
実験計測	遠崎 良樹**, 国師 正一**
計測装置	西尾 健二***, 越沼 威***

* 石川島播磨重工株式会社

** 川崎重工業株式会社

*** 原動機部

新形式ガスタービン燃焼器の研究

(第3報 環状燃焼器AS-250の特性)*

田丸 卓** 鈴木 邦男** 小倉 五郎**
黒沢 要治** 石井浅五郎**

概要

高性能で、かつ排気の清浄な航空用ガスタービンエンジンを開発する目的から、AS形と総称する新形式燃焼器を研究している。この形式は、燃焼室外に設けた空気ダクトを通る気流中へ燃料を供給し、気流微粒化作用による混合気の形成をはかったものである。

既報までのセクタ形模型による試験について、今回は環状燃焼器を設計し、その試験を行ったので、それについて報告する。

試験の結果は、同一の試験条件で、従来形の燃焼器の諸特性と比較して遜色ない性能が得られた。

また、燃焼器内筒内に流入する空気量の配分に関し、簡単で、実用的な見積り法を提案した。

1 まえがき

有害排気成分の少ない、高性能の航空用ガスタービンエンジンを開発するために、新形式の混合気形成方法を採用したAS形と総称する燃焼器を研究している。

この形式は、燃焼室外に設けたダクトを通る気流によって燃料を気流微粒化して燃焼用混合気の形成をはかる特徴としている。

最初、プロトタイプのAS-2¹⁾、および種々の混合気噴射方向について調べたAS-21～26²⁾のシリーズの燃焼器を、主軸に垂直な断面形状が扇形の燃焼器模型（セクタ形模型といふ）で試験を行ってきた。それらの燃焼試験は、燃焼器出口を大気開放の状態で行った。

ここでは、それらの結果を参考として設計した環状燃焼器、呼称AS-250、について報告する。とくに入口空気圧力変化の影響や、セクタ形模型の試験では資料が得られなかった環状模型に特有の問題点などについて明らかにする。また、今回用いた試験設備ではエンジンのアイドル

運転状態に近い燃焼器試験条件を実現できるので、そのときの性能についても確認する。

燃焼器AS-250の基本的設計方針は次のようである。

- i) 外筒形状は、FJR710/20と同一とする。
 - ii) 内筒鈍頭部、混合気噴射管などの原型をAS-25にとる。
 - iii) 鈍頭部冷却方式をインピングシング冷却とする。
 - iv) 鈍頭部より後流側の内筒部分は、FJR710/10の#02ライナを改造して用いる。すなわち、その後半部を利用し、ライナ空気孔は、主軸の方向に3列とする。以降、便宜上、内筒のこの部分を「ライナ」と呼び、前流側の鈍頭部と区別する。
 - v) 内筒全長、すなわち鈍頭部先端からライナ出口部までの長さを、AS-25の場合より10mmだけ短縮する。
 - vi) 燃料は、空気ダクト出口近近で噴射する。
- 以上のうち、vi)は排気ガス清浄化のため、できるだけ均質な予混合気を供給するという目的から、やや後退する設計であるが、逆火、あるいは予混合気の自己着火などの危険性が不明なため、とりあえず、それを回避する目的でこのようにした。この予混合気形成と逆火、あるいは自己着火の可能性などについては、別に検討する。

以下、呼称AS-250燃焼器で、ライナ空気孔の軸方向の並びが、混合気噴射管と一致しているものをAS-250A、略してA形、混合気噴射管より後流側のライナを半ピッチ回転させて、ライナ空気孔がその噴射管同士の中間位置になるよう改造を行なったものを、AS-250B、略してB形と称する。

主要使用記号

A	; 面積, cm^2
A, B, \dots, H	} 周方向位置, 図7参照
A', B', \dots, H'	
C	; 流量係数
L_b	; 燃焼器負荷率 ⁴⁾ $\text{kcal}/\text{m}^3 \text{h atm}$

* 昭和52年1月10日受付

** 原動機部

n	: 全体空燃比, w_a/w_f
p_i	: 燃焼室内静圧, kg/cm^2
P_f	: 燃料噴射圧力, $\text{kg}/\text{cm}^2 G, P_{fP}$; ブライ マリ, P_{fM} ; メイン
$P_1 (= P_t)$: 燃焼器入口空気全圧, kg/cm^2 (絶対圧)
r	: 燃焼器出口半径方向無次元距離 $r = (\text{内側ライナ出口位置からの距離})$ / (燃焼器出口 内外ライナ通路幅)
R_j	: 空気通路 j での等価抵抗, cm^{-2}
t	: 温度, $^\circ\text{C}$
T	: 温度, K
U_r	: 燃焼器最大断面平均風速, m/s
u	: 空気ダクト内気流速度, m/s
w_a	: 供給空気, kg/s
$(w_a)_d$: 空気ダクト通過空気量, kg/s
w_f	: 供給燃料量, kg/s 又は g/s
τ	: 空気比重, kg/m^3
ΔP	: 燃焼器入口, 出口全圧差, kg/cm^2
$\Delta T (= \Delta t)$: 燃焼器温度上昇, deg K
δ_t	: 温度不均一率, $(T_{\max} - T_2)/\Delta T$
η_b	: 燃焼効率, %
θ	: 無次元温度, $(T - T_1)/\Delta T$
θ_s	: 無次元温度, $(T - T_1)/(1150 - T_1)$
σ	: 出口温度偏差, deg K
	$\sigma = \left\{ \frac{1}{20} \sum_{i=1}^{20} (T_{2i} - T_2)^2 \right\}^{1/2}$
ϕ	: 全圧損失係数, $\Delta P / \left(\frac{r_1}{2g} U_r^2 \right)$

添字	
1	: 入口
2	: 出口
a	: 空気
f	: 燃料
P	: ブライマリ

2 試験装置、および燃焼器

供試燃焼器の燃焼試験には、当所原動機部の円環型燃焼器試験設備³⁾を用いた。この装置は、空気圧力がほぼ大気圧から $3 \text{ kg}/\text{cm}^2$ の範囲まで試験を行なうことができる。供給空気流量は $1.5 \sim 3.5 \text{ kg}/\text{s}$ である。なお、空気予熱用燃焼器は使用しなかった。

また、この設備によって試験した諸計測データは、Honeywell 316 ミニコンピュータのオンラインシステム⁴⁾で処理した。

つぎに、供試燃焼器各部名称や機能について説明する。それらの設計基準、設計値などについては、そのあとに述べる。

2.1 供試燃焼器構造

燃焼器 AS-250A の主軸を含む断面の一つを図 1(a)に示す。その寸法の概略を図 1(b)に示す。また、鈍頭主要部を図 2 に拡大して示す。また、内筒全体の外観を図 3 に、試験装置に取付けた燃焼器全体の外観を図 4 に示す。同図で供給空気の流れは左から右へ向かう。

燃焼室内部で遮熱板付近を後流側から見た模様を図 5 に

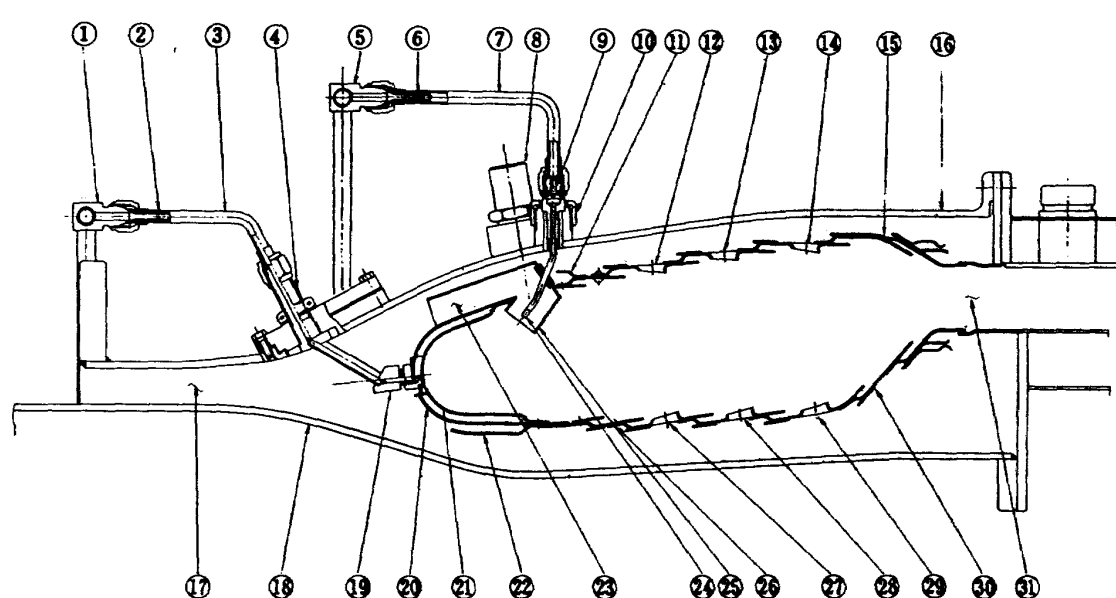


図 1(a) アニュラ形燃焼器 AS-250A

示す。図5中で遮熱板はアーケード状に凹面となっている。その一部に半月形をした凸部があるが、これは前流側に8本存在するストラットのため生じたものである。また、同図中、上下スリットの切れている中央にプライマリ噴射弁

が見えている。

図1(a)において燃料はプライマリ用、およびメイン用のマニホールド、それぞれ①、⑤によって各燃料ノズル⑯、および⑰に供給される。燃料マニホールドから、それぞれの燃

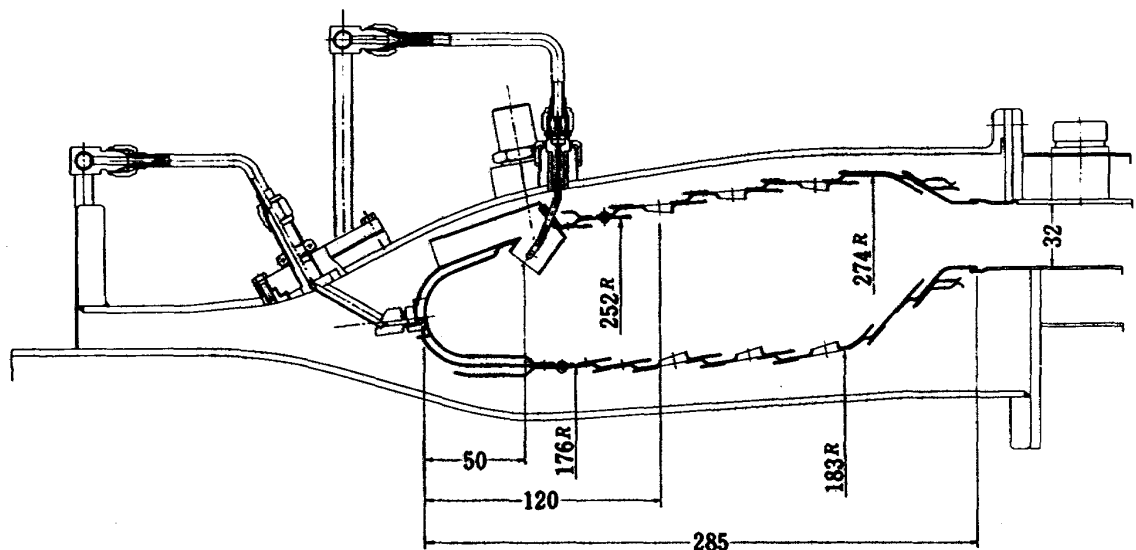


図 1(b) アニュラ形燃焼器 AS-250 の主要寸法

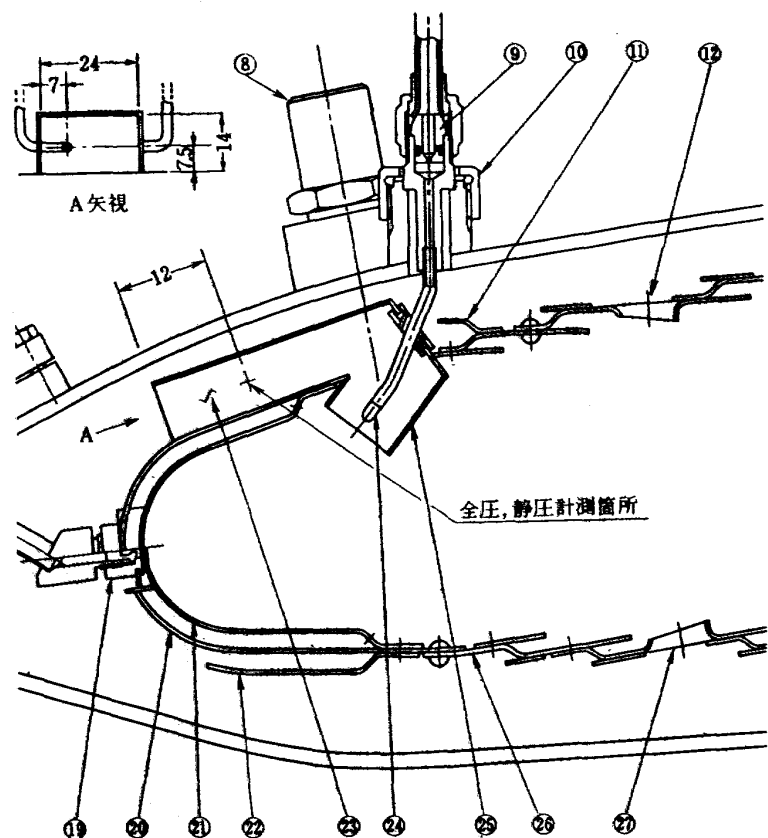


図 2 供試燃焼器鈍頭部詳細

料ノズルへ燃料を分岐する枝、③、および⑦を連結管と呼ぶ。これら連結管のマニホールド側内部には、燃料フィルター②、および⑥がある。メインノズル側の連結管は、メータリングオリフィスをそなえたニップル⑨と接続している。

主燃料ノズル④は全周に32本設けられていて、それぞれ空気ダクト⑩の出口付近で燃料を噴射する。空気ダクト

の後部、すなわち燃焼室内のやや上流側へ向いた部分⑪を特に混合気噴射管、または噴射管と呼ぶ。噴射管出口形状は矩形である。

供給空気は燃焼器入口部⑫を通り、デフューザ部で圧力回復をおこないながら燃焼器内筒鈍頭部⑬に衝突し、流れがほぼ2分されて内外ライナーへ流れる。外周側へ分流し

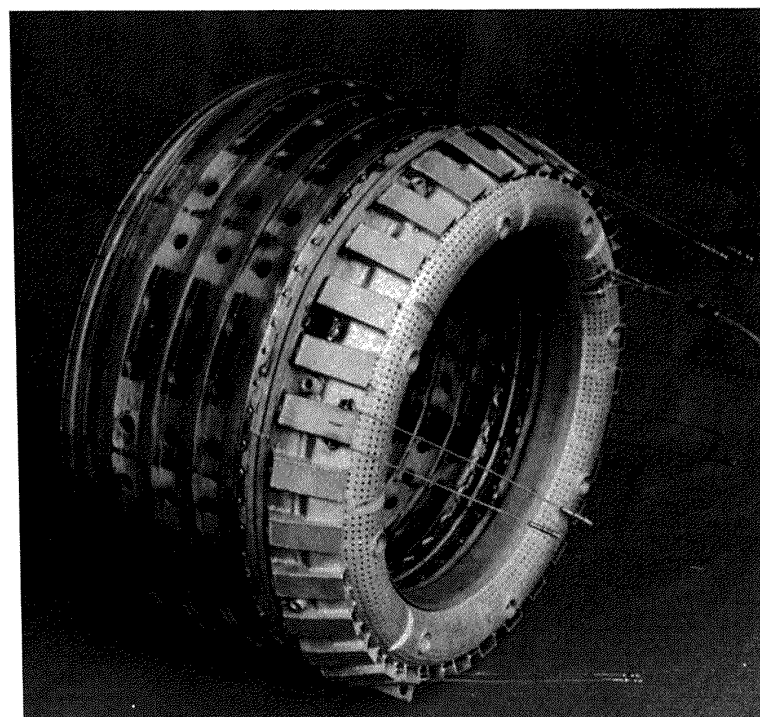


図 3 AS-250 内筒外観

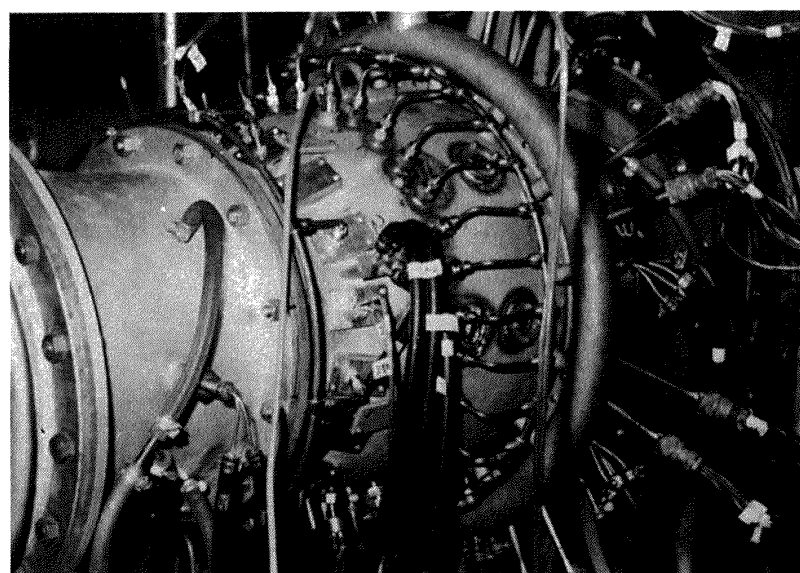


図 4 供試燃焼器を燃焼試験装置へ取付けた状態

た流れの一部は空気ダクト内に入り、他は、ライナ空気孔⑫～⑯およびそれらの前後にもうけたライナ冷却用スリット小孔を通って、燃焼室内に入る。

環状通路内側部へ分流した流れは、同様に、ライナ空気孔⑰～⑲およびライナ冷却用スリット小孔から、燃焼室内へ流入する。

また、一部の空気は、鈍頭部に多数あげられたインピング冷却用小孔を通って、遮熱板②を冷却し、その後スペントフローとして遮熱板にもうけられた巾3.2mmのスリット、または遮熱板端部の小孔より燃焼室内に排出される。⑩として示したガイドプレートは、鈍頭部で比較的流れと平行な部分での冷却用空気導入を容易にするためにもうけたものである。

本報告では、燃焼器内筒の前部、すなわち二重構造部と空気ダクトとその出口の混合気噴射管部を含めて、鈍頭部と呼ぶ。空気孔および冷却スリットなどのある後半部をここでは特にライナと呼ぶ。したがって燃焼器内筒は、鈍頭部と内側、および外側のライナによって構成されていると考える。

燃焼室の主要寸法は、図1(b)に示す通りである。

2.2 燃焼器設計の詳細

2.2.1 空気流量配分

燃焼器内筒の各場所へ導入される空気量の配分は一次近似的に開口面積比に従うものと仮定した⁵⁾。

まず、一次燃焼領域へ流入する空気は、混合気噴射管からと鈍頭部の冷却用空気孔からと考え、それぞれの開口面積を、 A_d 、および A_h とする。

それら以外の内筒開口部は、ライナ空気孔と、ライナ壁面冷却スリット用小孔である。それらの開口面積を、それぞれ A_{ls} 、および A_{lh} とする。

設計点での全体空燃比を n_p 一次燃焼領域の空燃比を n_d すると、上記の仮定から、

$$\frac{A_d + A_h}{A_d + A_h + A_{lh} + A_{ls}} = \frac{n_p}{n_d} \quad (1)$$

となる。ここで $n_p = 1.5$, $n_d = 4.76$ とする。ここに用いるライナは、既製のもの、すなわちFJR710エンジンの#02ライナを用いたことにしたので、ライナ空気孔は直径1.3mm、スリット用小孔は直径2mm、ピッチ3mmの寸法である。したがって、

$$A_{lh} = 254.8 \text{ cm}^2$$

$$A_{ls} = 173.4 \text{ cm}^2$$

である。

これらの値を(1)に代入すると鈍頭部開口面積として、 $202 \text{ cm}^2 (= A_d + A_h)$ となる。鈍頭部にインピング冷却のために、伝熱計算の結果、次の小孔群をもうけた。

$$\text{冷却空気孔直径} = 2 \text{ mm}$$

$$\text{空気孔間隔} = 6 \text{ mm}$$

$$\text{総数} = 3,620 \text{ 個}$$

$$\text{総面積 } A_h = 113.7 \text{ cm}^2$$

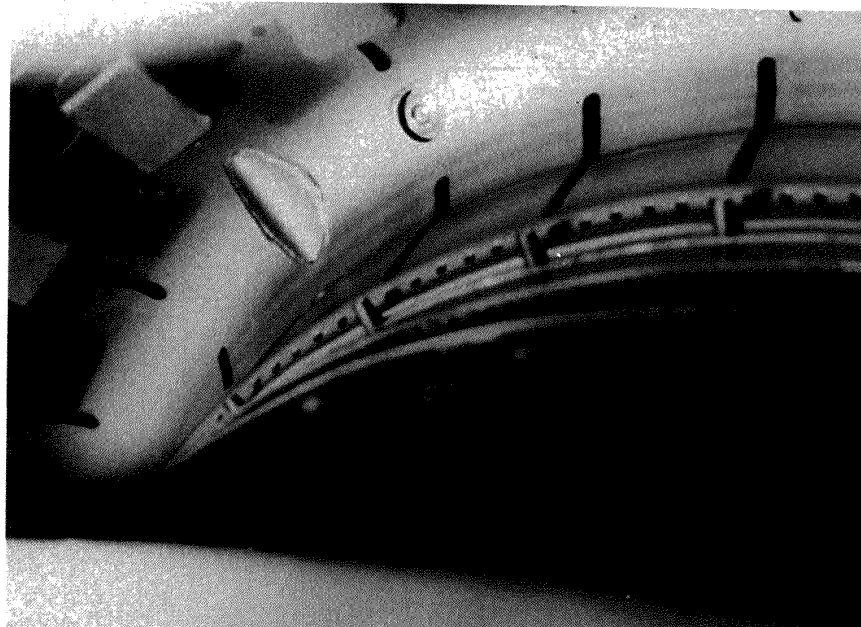


図 5 燃焼室内から見た遮熱板

これから、空気ダクト入口の開口面積は 88cm^2 と見積られる。しかし、これが形状的に外筒と内筒間通路を区分した通路面積であるのに、インピングジング冷却用小孔の場合は、エッジの丸めていない円孔であり、ある程度の流量係数を見込まなければならないことから、空気ダクト入口開口面積を約 20 % 多い値とした。最終的には、通路巾、燃料供給ノズル太さなどを考慮して、空気ダクト入口形状を半径方向（高さ）14mm、円周方向（巾）24mm と決めた。この結果、 $A_d = 105.3\text{cm}^2$ となった。

また、鈍頭部において、流れが冷却孔のあいている面と平行になる部分に、全圧を利用して空気を導入するためにガイドプレートをもうけた。その開口部は当該冷却孔開口面積にたいし 20 % 増とした。

以上のようにして、鈍頭部の形状を定め、内、外ライナへほぼ同等の分流比となるように外筒との相対位置を決めた。

最終的に外筒デューザと内筒間の環状通路において最も狭い部分は、内側では、ガイドプレート先端で 138.1 cm^2 、外側では空気ダクト入口で 126.6 cm^2 となった。

内筒全体の開口面積割合を図 6 に示す。

2.2.2 燃料供給ノズル

図 1(a) の ⑯ に示す着火用燃料ノズルは、加圧噴霧式渦巻噴射弁で、これを円周上に 8 個もうけた。これらは、着火の目的ばかりではなく、希薄混合気のとき主燃料ノズルの補助の役割を果す場合も考慮して、プライマリ燃料ノズルとも称する。この 1 個あたりの吐出流量は、JP-4 による

検定試験では、圧力 5 atg にて、1.84 g/s であり、そのときの噴霧角は 55° である。

主燃料ノズルは、図 2 の ② に示す形状で、混合気噴射管 3 本のそれぞれに燃料を供給する。このメータリングオリフィスは、図 2 の ⑨ にあり、本試験では、約 0.3 mm のものを用いている。燃料吐出孔は、それぞれのノズルに直径 0.5 mm のものが 2 個設けてある。それらは、ノズル先端より 3 mm の位置にあり、燃焼器主軸面内、ノズルの軸に垂直な方向へ向けてあけてある。

主燃料供給ノズルは、メータリングオリフィスとの組合せで、個々の吐出流量のばらつきを土 4 % とすることを目標とした。

2.3 溫度と圧力の計測

燃焼器の諸特性値を得るために、前記試験装置、および燃焼器外筒などには、静圧や全圧測定用の受圧管、温度測定用の熱電対が取付かれている。

燃焼器入口側には、後流側から見て 9 時の位置に半径方向 2 点を計測する全圧管 1 本がある。また、同じく燃焼器入口の円周方向 4 ケ所に静圧測定箇所があり、それらを統合して 1 点の入口静圧としている。

燃焼器出口側の受圧管、熱電対の配置を、図 7 に示す。

そのうち、全圧管は、半径方向 4 点を測定できるものが 1 組となっていて、それが図 7 に示すように円周方向 8 箇所に配置してある。

燃焼器出口に設置してある温度計は、半径方向に 4 点の

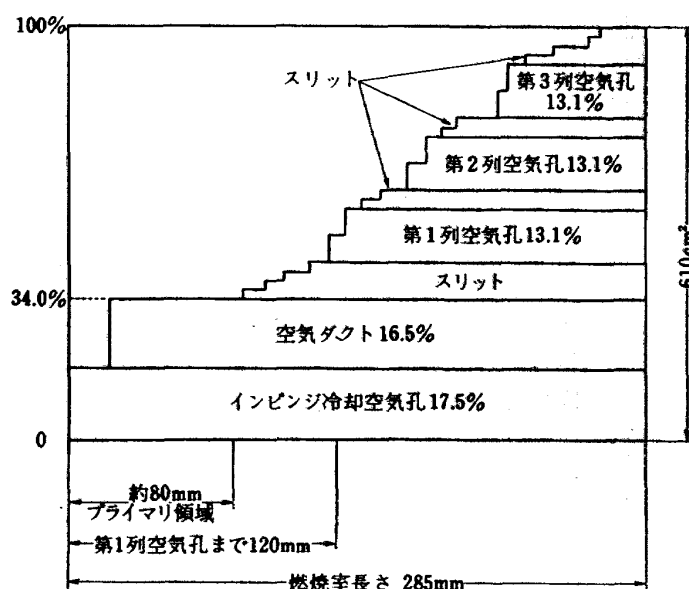


図 6 内筒開口面積割合

クシ形CA熱電対である。これが図7に示すように、混合気噴射管の中間後方位置に16箇所配置してある。それらのうちA, B, C, …, Hと記号した8本は、プライマリ噴射弁の後流となっている。

これら16組の熱電対、および前述受圧管は燃焼器AS

-250Aの場合には、ライナ空気孔の中間位置後方に位置することとなる。参考のためにこのA形のライナ空気孔と熱電対などの相対位置を示す側面展開図を図8に示す。

燃焼器鈍頭部にたいして、ライナを空気孔円周方向の半ピッチ分だけ回転させた燃焼器、AS-250B、すなわ

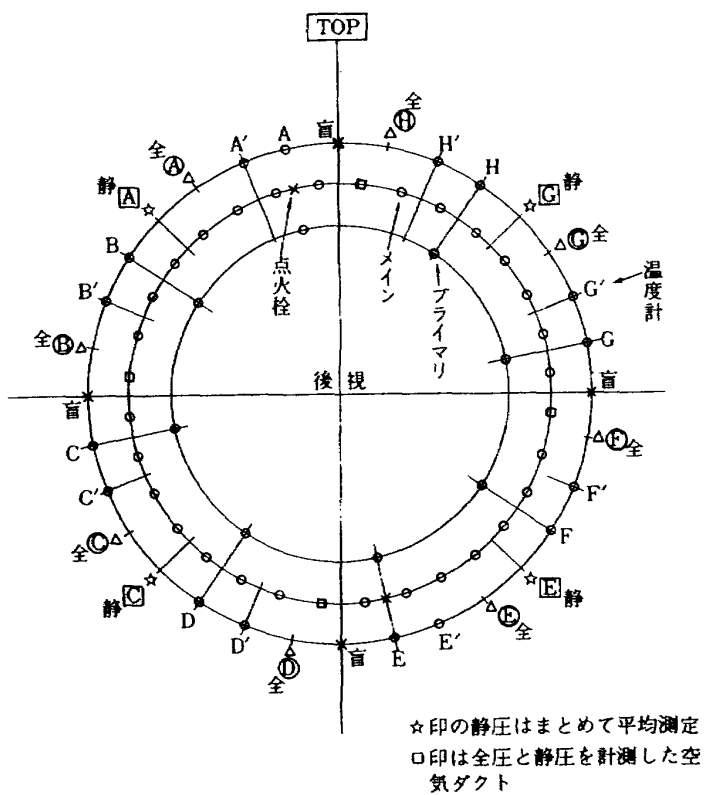


図7 AS-250の諸計測位置

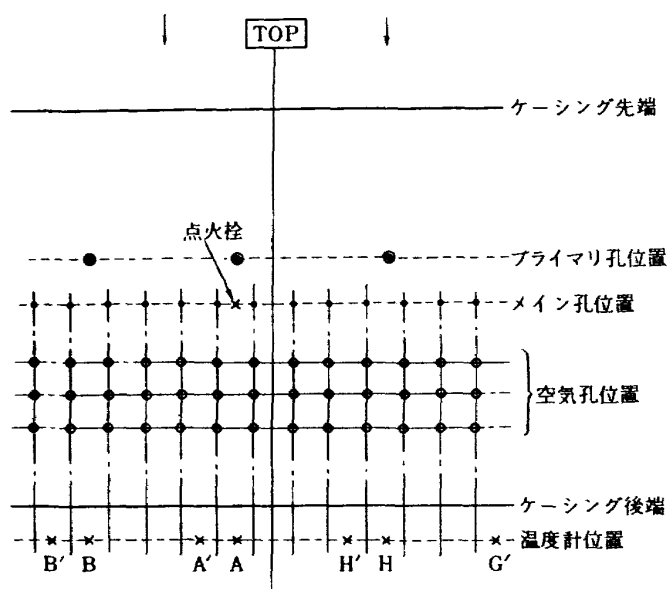


図8 AS-250Aのライナ空気孔と出口温度計位置

ちB形では熱電対、受圧管などはすべて、ライナ空気孔列の後方に位置する。A形の場合同様、B形の場合の側面展開図を図9に示す。

なお、熱電対や受圧管が燃焼器ライナ空気孔などと相対位置が異なることに対する影響を知るために、燃焼器全体を、熱電対などの計測座にたいして $7^{\circ}30'$ 、すなわち $\frac{1}{6}$ ピッチだけ回転させた実験も行なった。その場合の混合気噴射管と熱電対位置は図10に示すように円周角にして $1^{\circ}52'30''$ 、すなわち $\frac{1}{6}$ ピッチの違いである。

以上のほかに、図7の矢印で示す4ヶ所の空気ダクトには、静圧と全圧を測定できる受圧管が取付けられていて、それぞれの管内の空気流量を測定できる。それらの取付部位置詳細は図2に示されている。

また、燃焼器遮熱板の温度を知るために、図11に示す6箇所に、外径1インチネルシースCA熱電対を溶接した。取付方法は同図中に示した。

図11で、a, b, c, dまたはfの位置は、遮熱板の冷却のために使われた空気、すなわちスペントフローが最

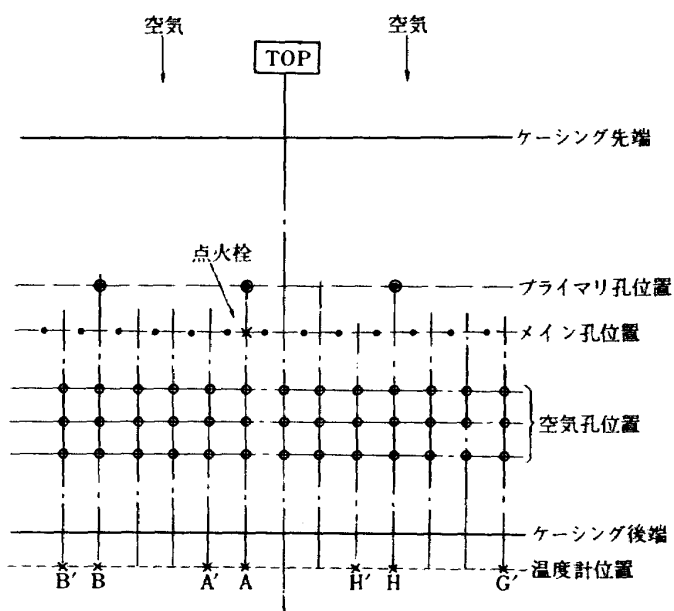


図9 AS-250Bのライナ空気孔と出口温度計位置

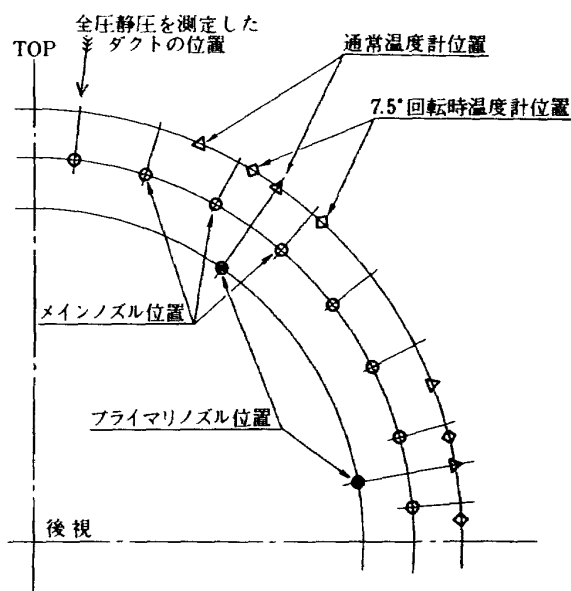


図10 燃焼器回転時の出口温度計相対位置

も高い温度となつてゐると予想される位置である。eは、噴射管からの噴流が衝突すると予想される位置で、強制対流熱伝達率が最も高い点である。

2.4 実験方法

供試燃焼器の設計点は、FJR710/20 のものを参考としたが、今回の燃焼試験は、試験装置の制約から次の条件範囲内で、試験条件の設定を行なつた。

燃焼器入口全圧 $P_1 = 1 \sim 2.8 \text{ kg/cm}^2$

最大断面平均風速 $U_r = 11 \sim 22 \text{ m/s}$

空燃比 $n = 50 \sim 120$

燃焼器入口空気温度の制御は行なわなかつた。通常、その温度は330K～395Kの範囲内であった。

プライマリ燃料は、燃焼器入口圧力にかかわらず、主として10kg/cm²G、または0の燃圧とした。

燃焼試験は、表1に示すように2回の予備試験を入れて、A形を6回、B形を3回行なつた。

各試験における燃焼器諸特性を巻末付録A-1に表示する。

A形の第4回と第5回の間では、遮熱板温度計測用熱電対修理のため、分解、組立を行なつてゐる。

また、A形の第6回と、B形の第3回は燃焼器を7°30'回転させて試験をしてゐる。

表1 燃焼試験

燃 焼 器	実施回	試 験 №	備 考
AS-250A	1	760507	} 予備試験
	2	760511	
	3	760520	
	4	760527	
	5	760707	
	6	760709	燃焼器回転
AS-250B	1	760916	
	2	760924	
	3	761104	燃焼器回転

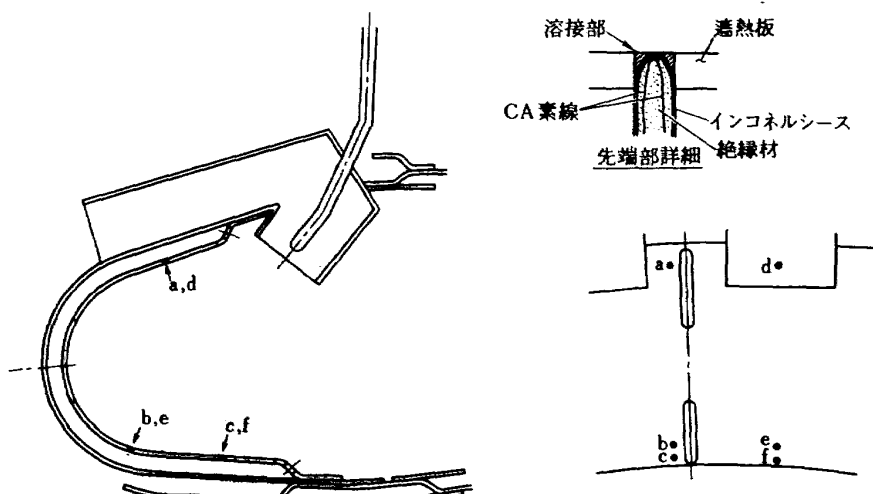


図 11 遮熱板温度測定用熱電対取付位置

3 試験結果と検討

3.1 燃焼効率特性

燃焼器 AS - 250A の空燃比にたいする燃焼効率特性を、図 12 と 13 に示す。前者が最大断面平均風速 18 m/s、後者が 13 m/s 付近のものである。

図 12 によると、燃焼器入口空気圧力 P_1 が高いほど燃焼効率 η_b は高く、FJR710 エンジンのアイドル条件に近い圧力の $P_1 = 2.66 \text{ kg/cm}^2$ では、 n に余り依存しない最高の η_b を示す。

図 13 の場合も同様、 η_b は比較的 n に依存しない高い

値を示す。

なお、いずれの図の場合も、 η_b が 100% を越える値となっている。この原因是、燃焼器出口でのエンタルピ分布が不均一であって、この場合の温度測定が比較的高温部分を測定しているためと考えられる。

燃焼器 AS - 250B の場合には、ライナ空気孔列の後流に熱電対が位置するため、図 14 に示すように図 13 と同一条件でも η_b が 100% 以下の値となる。この場合にも、 P_1 は高いほど η_b は良好である。

しかし、風速が低い図 15 の場合には、火炎の局所的な伸びが影響して、やはり 100% を越える η_b となっている。

これら燃焼器出口での温度計測位置の影響を知るために、燃焼器をライナ空気孔列の $\frac{1}{3}$ ピッチだけ回転させ、同一燃焼条件で計測をおこなってみた。すなわち、この場合、同一燃焼器にたいして出口温度計座を相対的に円周角にして $7^{\circ} 30'$ だけ移動させたことに相当する。その結果は、図 16 のようになった。

図 16 によると、AS - 250A と AS - 250B のいずれの燃焼器の場合でも、出口温度計がライナ空気孔列後方に位置するとき、燃焼効率値が低い値を示している。温度計が定位位置の場合と $7^{\circ} 30'$ 回転した場合の燃焼効率

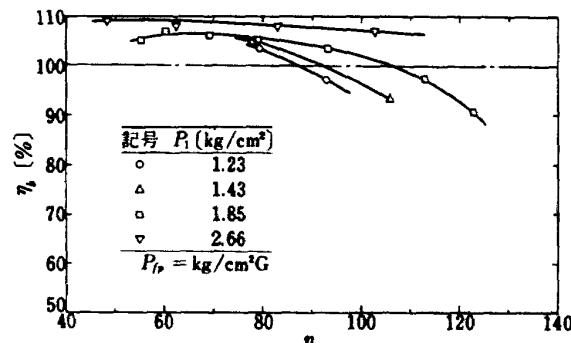


図 12 AS - 250A の空燃比にたいする燃焼効率特性
($U_r = 18 \text{ m/s}$)

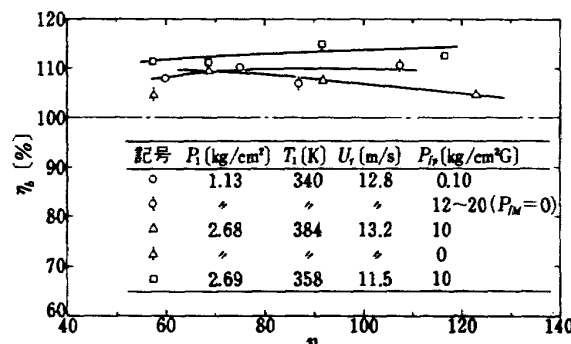


図 13 AS - 250A の空燃比にたいする燃焼効率特性
($U_r \approx 13 \text{ m/s}$)

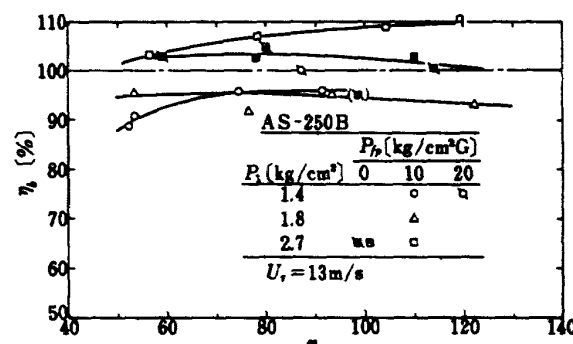


図 15 $U_r = 13 \text{ m/s}$ 付近での燃焼効率

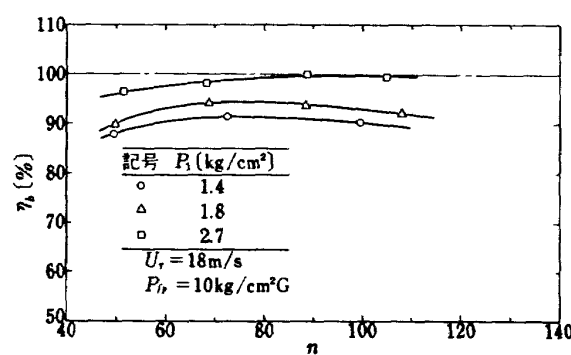


図 14 AS - 250B の燃焼効率特性

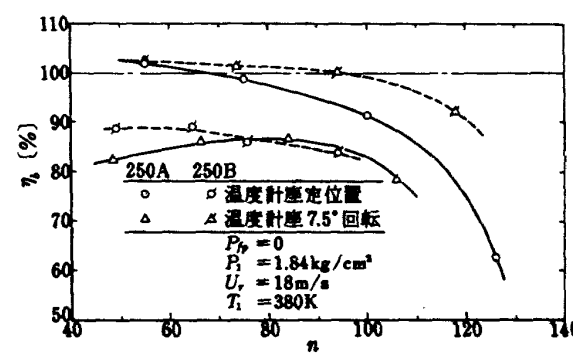


図 16 出口温度計測位置の及ぼす影響

値の平均値を、それぞれ二つの燃焼器の特性とすると、両者に大きさ相違はない。しかしそちらかといえば、B形の方が空燃比のより広い範囲にわたってやや高い燃焼効率を維持していることから幾分すぐれているといえる。

上記の比較は、 $P_1 = 1.84 \text{ kg/cm}^2$ の条件であるが、さらにエンジンアイドル運転条件に近い $P_1 = 2.7 \text{ kg/cm}^2$ では、図 17 のようになる。この図によると、プライマリ燃料を噴射しない場合、A形の η_b が n の低下に伴なって、やや劣化する傾向にある。しかし、B形ではそのようなことがない。

いずれの燃焼器の場合も、プライマリ燃料を噴射すると高い燃焼効率を示すが、温度計との相対位置から判断して、燃焼器出口エンタルピ分布に影響を与えた結果による可能性が強い。なお、 $P_1 = 2.7 \text{ kg/cm}^2$, $U_r = 18 \text{ m/s}$, $n = 50$ での全燃料供給量に占めるプライマリ燃料量の割合は、 $P_{fp} = 10 \text{ kg/cm}^2 \cdot G$ の場合、約 15 % である。燃焼器外筒に設けたのぞき窓からの火炎観察によるとプライマリ燃料の全燃料量にたいする比率が大きい場合には、黄色の比較的伸長した火炎がみられた。

燃焼効率の入口空気圧力、温度、風速にたいする依存性を知るためにパラメータ $P_1 T_1 / U_r$ にたいして η_b を

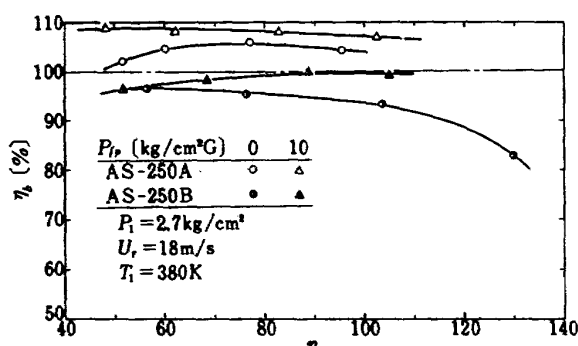


図 17 プライマリ燃料噴射の燃焼効率へおよぼす影響

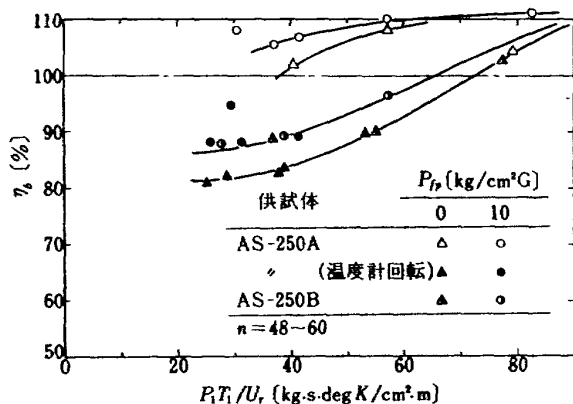


図 18 入口空気条件への燃焼効率依存

とってみると、図 18 のようになる。設計点では $P_1 T_1 / U_r$ の値が非常に大きな値となるので、その状態では十分高い η_b となることが予想できる。

3.2 燃焼器出口温度分布

今回使用したライナは、従来のスワーラと圧力噴射弁を採用した燃焼器のものを利用したので、ターピン入口で要求される温度分布形状に燃焼器出口温度を調整する手段は特に講じていない。

しかし、燃焼器出口温度分布を検討することは、次の事柄を知る上で有益である。

- i) 燃焼効率、温度上昇などの測定精度
- ii) 燃焼状態の把握、すなわち部分的吹消え、火炎の伸びなどの存在。
- iii) ライナ空気孔からの空気流、あるいは燃焼ガスなどの混合度
- iv) ストラット、プライマリ噴射弁、その他非対称性構造物の影響
- v) 温度分布決定要因の把握

燃焼器出口において要求される温度分布形は、ターピン翼の耐久性によるものであるから、最も出口ガス温度が高いときのみ、所要の形となっていればよい。これまでの気流微粒化形燃焼器の研究により、次の無次元温度にて分布形を表わすと、多くの燃焼器で、著しい火炎の伸びなどがない場合、空燃比、風速などに依存しない一定形となることがわかっている。⁶⁾ すなわち、

$$\theta = \frac{T - T_1}{T_2 - T_1} \quad (2)$$

ここで、 T は任意の位置の温度、 T_1 , T_2 はそれぞれ燃焼器入口空気温度、出口での燃焼ガス平均温度である。

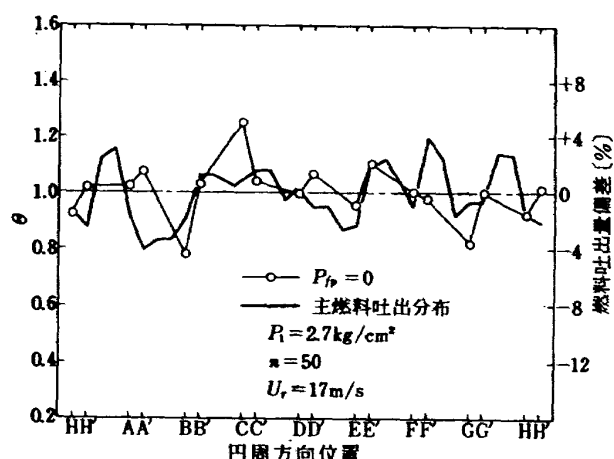


図 19 AS-250A の円周方向出口温度分布

したがって、この無次元温度によって温度分布形を表わした時、目的とする温度上昇の大きいときの分布も、そうでないときのデータによって類推することが容易である。

3.2.1 円周方向温度分布

図19に、燃焼器 AS-250A の円周方出口温度分布を示す。各位置での温度は、半径方向に4点測定している平均値である。この燃焼器の場合、総じて図7のBの付近が低く、Cの付近が最も高い温度分布形となった。また、図19中には使用した主燃料供給ノズルのあらかじめ行った流量検定による吐出量分布を示す。出口温度計の位置は、それぞれの主燃料ノズルの中間位置にあるため、実線は、隣り合うノズルの吐出量の算術平均値を結んだものである。これらを比較すると、お互いの増減にやや関連性がある。しかし燃焼試験の比較的後になるに従がって、頭初に行なってあった燃料ノズル吐出特性との関連が薄くなる傾向にあった。そこで後半に試験を行なったB形の出口温度分布と、表1に示した全試験終了後に燃料ノズルの再検定を行

なった結果とを比較してみると図20のようになる。これを見ると温度分布形と燃料吐出量分布形との関連は非常に強い。たとえば、図20でA'の位置の温度が極端に低下しているのは、燃料ノズルの閉塞によりこの部分の燃料供給量が少なく、火炎が吹き消えていることに原因がある。

次に、プライマリ燃料噴射の影響を、図21と22でみてみる。これらの図で、 $P_{fp} = 10 \text{ kg/cm}^2\text{G}$ の場合、プライマリ燃料量が全供給燃料量にたいする割合は、12%程度である。それぞれの図中で、 $P_{fp} = 0$ と $10 \text{ kg/cm}^2\text{G}$ の場合では、全体として大差ない結果である。

空燃比の変化は、余り影響を及ぼさない。図23にAS-250Aの場合を例示する。Dの位置で空燃比の大きい場合に低い温度となったが、燃料吐出圧が比較的小さいため、この付近での燃料吐出割合に差ができたものであろう。

風速の影響は、図24と25に示すように余り顕著ではない。どちらかといえば、図25のAS-250Bの場合に、風速が大きいほどθの振巾が大きくなり、ピークや谷

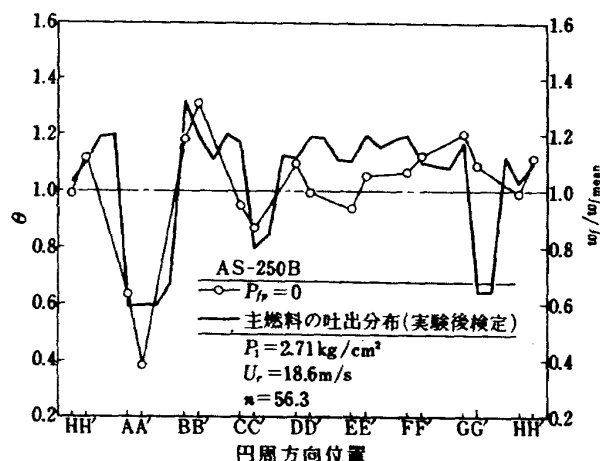


図 20 AS-250B の円周方向出口温度分布
と燃料吐出量分布

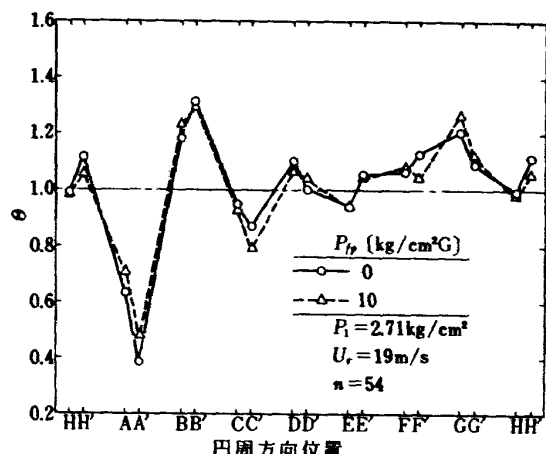


図 22 AS-250B の出口円周方向温度分布

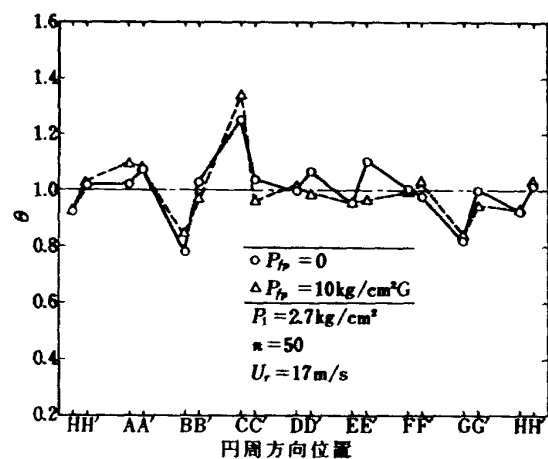


図 21 AS-250A の出口円周方向温度分布

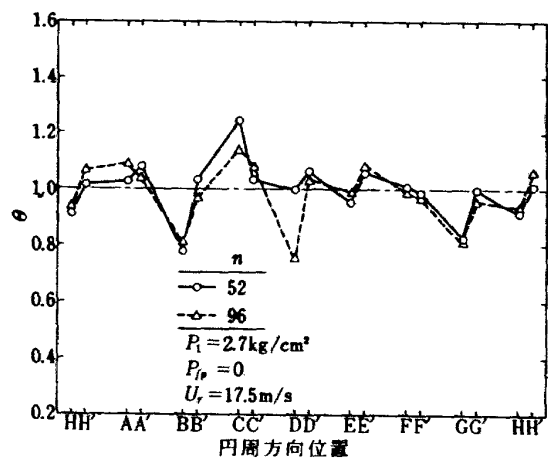


図 23 円周方向出口温度分布における
空燃比の影響 (AS-250A)

の4ヶ所性が顕著になる。

燃焼器入口空気圧力の影響を図26に示す。図26はAS-250Bの場合で、前述のように円周方向位置A付近で燃焼がおこなわれず、そこが極端に低い。この部位の温度に平均温度がやや影響されて、 $P_1 = 2.71 \text{ kg/cm}^2$ の他の場所での無次元温度は、 $P_1 = 1.83 \text{ kg/cm}^2$ の場合より高い。 A' での異常がなければ、それらの温度はほぼ一致する。すなわち、この程度の圧力影響は顕著には現われていない。

燃焼器AS-250AとAS-250Bの円周方向出口温度分布の比較を、図27に示す。それら相互の類似性は薄い。ただ、AからC'の位置にかけての温度変動は共通していて、他の部分より平均値からの偏差が大きい。

AS-250Bの場合のA'付近の特異点を除けば、図27の燃焼条件で、両燃焼器共、ほぼ±25%以内の温度偏差となろう。

以上の円周方向出口温度分布は、すべて混合気噴射管と出口温度計との周方向相対位置が同一の定位置にある場合

の結果である。これにたいして、出口温度計を $\frac{2}{3}$ ピッチ、すなわち $7^\circ 30'$ だけ回転させて計測した結果を定位置のものと比較して示すと図28のようである。それらの分布形状は一見、相異があるよう見える。

しかし実際の出口ガス温度分布形は、それらの実測点を

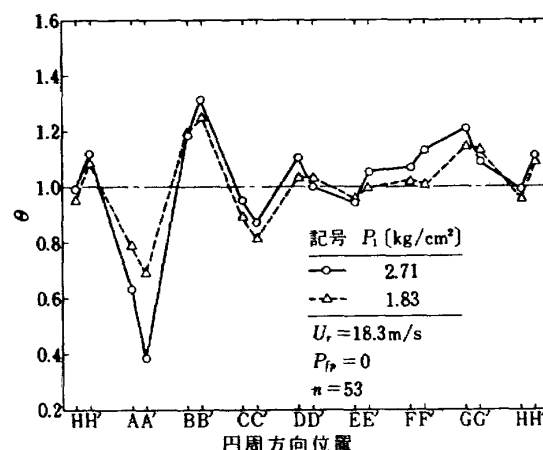


図 26 円周方向出口温度分布におよぼす
入口空気圧力の影響(AS-250B)

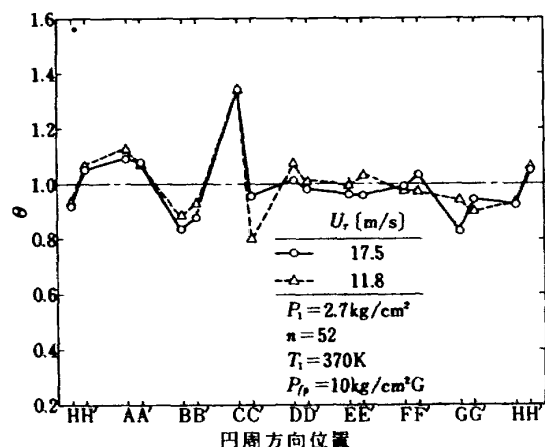


図 24 円周方向出口温度分布におよぼす風速の影響
(AS-250A)

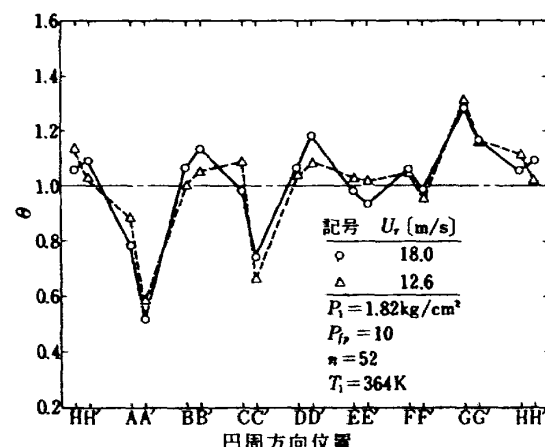


図 25 円周方向出口温度分布におよぼす風速の影響
(AS-250B)

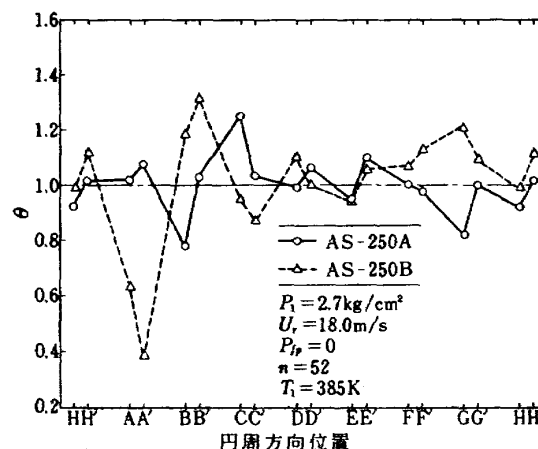


図 27 AS-250Aと250Bの円周方向出口
温度分布比較

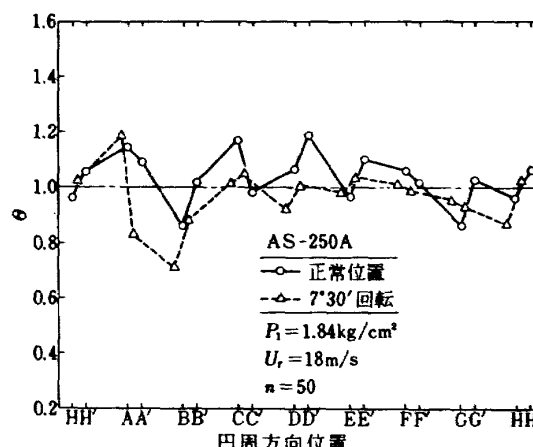


図 28 出口温度計位置が $\frac{2}{3}$ ピッチ移動したときの
温度分布変化

一本の線で連結した図29のような形、もしくはライナ空気孔などの円周方向32列の影響が表われた更に波数の多い形となっていると考えられる。したがって、ライナ空気孔の異った配列の燃焼器同士の厳密な意味での分布形状の

比較は、現在の出口温度計の数と間隔では十分でない。

3.2.2 半径方向温度分布

前述のように、今回試験した燃焼器では、半径方向出口温度分布形を要求される形にする方策を何ら講じていない。しかし、今後の開発段階で、分布形を所要の形とするための参考資料として供試燃焼器AS-250AとAS-250Bについて検討してみた。

まず、空燃比と風速の変化にたいしては、両燃焼器とも、出口温度分布形にほとんど変化がみられなかった。これは、セクタ形燃焼器による常圧燃焼試験の結果と同じである。

入口空気圧力の変化にたいしては、図30と31に示すように、ほとんど変化がなかった。どちらかといえば、A形の場合、わずかに低圧のときに弓形となる傾向が強い。

プライマリ燃料を噴射した場合と、噴射しない場合の比較を、図32と33に示す。図32に示されるA形の場合には、プライマリ燃料を噴射するとややターピン翼端側の温度が高くなる。その影響の程度は、この燃焼条件ではご

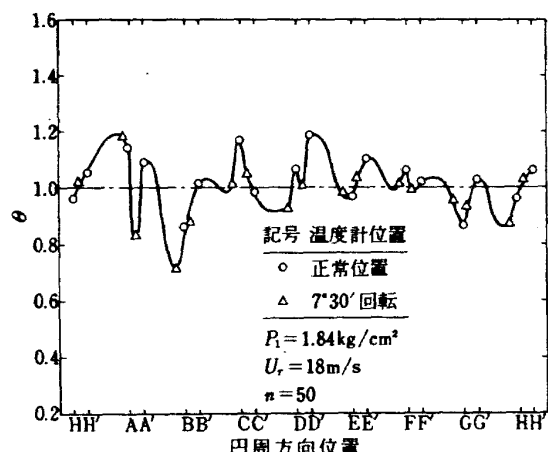


図 29 出口温度の円周方向分布 (AS-250A)

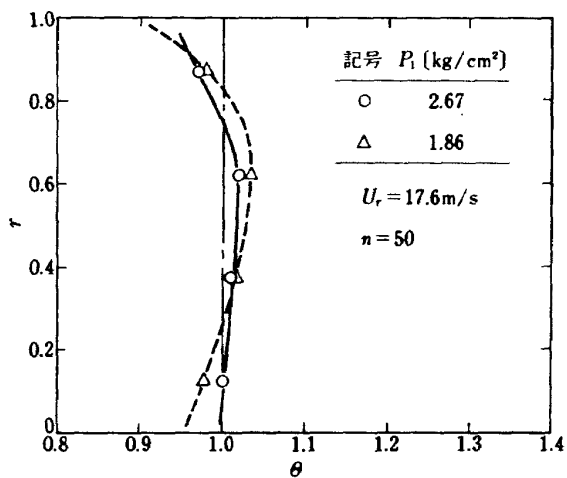


図 30 燃焼器入口空気圧力の影響 (AS-250A)

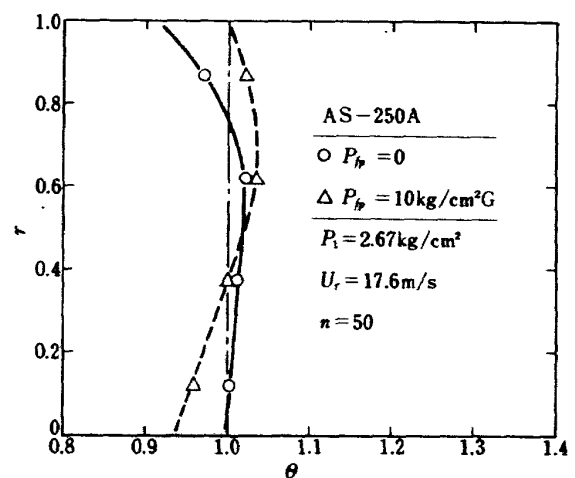


図 32 プライマリ燃料噴射の影響 (AS-250A)

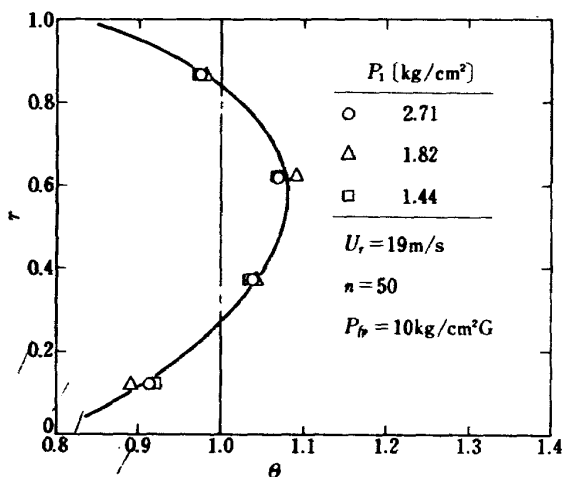


図 31 燃焼器入口空気圧力の影響 (AS-250B)

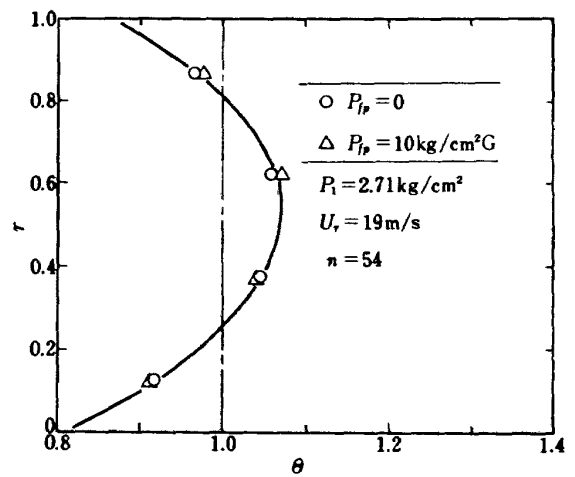


図 33 プライマリ燃料を噴射したときと、しないときの出口温度分布比 (AS-250B)

くわずかである。図33に示すB形の場合には、プライマリ燃料噴射の影響はほとんどみられない。

図30と31、あるいは、図32と33の比較からA形の場合は比較的均一な温度分布形であり、B形の場合は、 r が0.5付近で高温となる弧を描いている。この違いは、ライナ空気孔と出口温度を計測する熱電対の円周方向相対位置に起因する。

図34に共にライナ空気孔列の後方に熱電対がある場合の計測値を示す。この図によるとその位置では、A形とB形の出口温度分布形はほとんど同一で、タービン翼中央の位置で最も高温となる。

ライナ空気孔列後方の温度分布は、A形の場合、図30や32のように比較的均一な形となるが、B形の場合は、図35に示すように、やや弓なりの形状が強い。

ただし、図35に示すB形の場合の測定は、出口温度測定位置が図30や32のようにライナ空気孔列の正しい中間位置ではなくて、それより $\frac{1}{6}$ ピッチだけずれた位置であ

る。それが図35の場合に空気孔列後方での分布形にやや近い形を示す原因と考えられる。

そのほか、空気孔列中間位置後方では、遮熱板構造の違いが微妙に出口温度分布形に影響する。

図36は、A形の燃焼器で、プライマリ噴射弁のある場所と、ない場所の出口温度を比較したものである、このとき、プライマリ燃料は噴射していないが図36に示されるように分布形、およびその平均値に相異がある。これは、図5からもわかるように、プライマリ噴射弁と遮熱板の間にすきまがあって、ここから洩れる空気が燃焼状態に影響を与えるためである。B形の場合は、図37に示すように、更に著しく、噴射弁の有無が温度分布形に影響を与えている。これでは、噴射弁があって、そのまわりから空気が流入すると思われる部分後方では、タービン翼根側が比較的高温となって好ましくない温度分布形となっている。

最後に、全計測温度中、最も高温であった値を無次元化した出口温度不均一率、 δ_t によってみてみると図38の

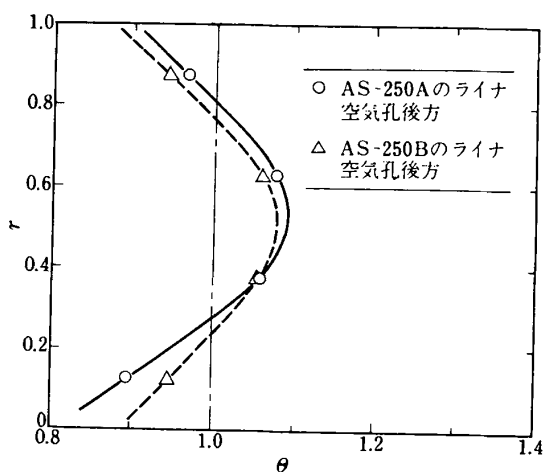


図 34 ライナ空気孔後方における温度分布

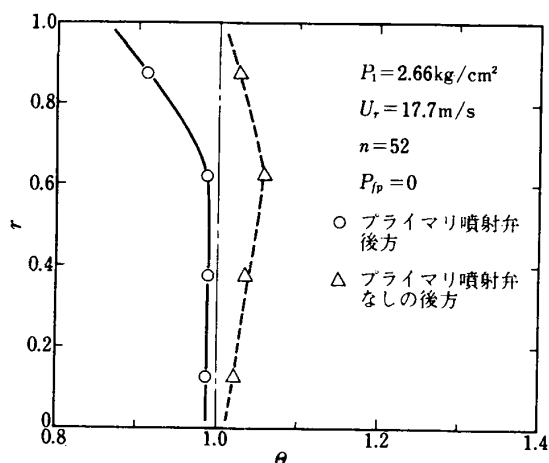


図 36 AS-250A の出口温度半径方向分布

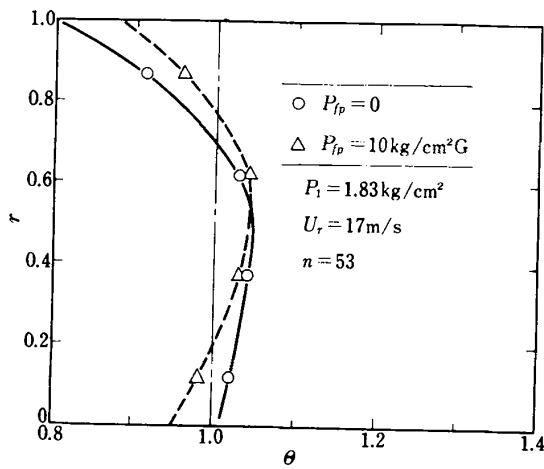


図 35 AS-250B のライナ空気孔中間位置後方での半径方向温度分布

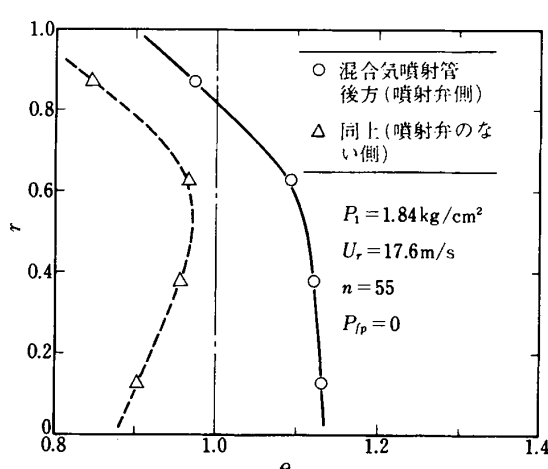


図 37 遮熱板スリット形状の影響 (AS-250B)

のような傾向である。この図で横軸は、燃焼器による温度上昇値 ΔT を入口空気温度 T_1 で除した無次元値である。

図38によると、 $\Delta T/T_1$ が1.2～1.4のとき、 δ_t は極小となる傾向にある。 δ_t の値は、0.2以下にすることが望ましいが、供試燃焼器の場合、余りそれを満足していない。むしろ、本形式のセクタ燃焼器による常圧燃焼試験で、火炎の長さが十分に短かかったことを考慮すると、今回の試験では予想外に大きい δ_t の値を示した。この原因として、

- (i) 燃料ノズル吐出量のばらつきが大きかった
 - (ii) プライマリ燃料噴射弁の有無、一次燃焼領域燃焼状態の不均一性、などが燃焼器出口まで直接的に影響した
 - (iii) ライナ空気孔からの噴流貫通深さが不充分で、燃焼ガスの希釈が十分におこなわれなかつた
- などが挙げられる。

3.3 圧力損失

供試燃焼器の圧力損失を、全圧損失係数 ϕ によって比較検討してみる。

図39に、通風時、すなわち非燃焼時の ϕ の値を示す。これらは、大別して4種類のデータ群に考えられる。

第1群は、AS-250Aの第1回と第3回の試験によるデータで、最も低い値を示している。たとえば、設計点風速 $U_r = 19 \text{ m/s}$ では、 $\phi = 38.3$ である。AS-250Aの内筒組替えを行なった後の第4回のデータは、それよ

り高い値で、同風速のとき $\phi = 40.6$ となる。

AS-250Bの場合は、上のいずれの場合よりも高い ϕ の値を示す。ただし、出口温度計、もしくは出口全圧管が空気孔列中間位置にある場合には、 ϕ の値はやや低い値となる。

このように、A形とB形の ϕ の比較で、後者の方が高い ϕ を示すのは、出口温度分布と同様、その全圧測定管の空気孔列にたいする円周方向相対位置が大きな原因と考えられる。

したがって、実際の平均的全損失係数は、いずれの燃焼器の場合も、通風時において $U_r = 19 \text{ m/s}$ のとき、 $\phi = 41$ 程度であろう。

図40には、A形の全圧損失係数で、燃焼時の場合を示す。たて軸に矢印で示した ϕ の値は、通風時にそれぞれの風速で示した値である。この図によると、 U_r による ϕ の値の差は大きいが、入口空気圧力 P_1 、および温度比 T_2/T_1 の影響は比較的小ない。また、プライマリ噴射の影響はほとんどない。

更に詳しく P_1 の影響をみると、図41のようである。この図によると P_1 が高いほど ϕ の値は T_2/T_1 への依存性が増していく。また、 T_2/T_1 が小さい値では、 P_1 が増加するほど ϕ の値は小さい。

出口全圧計が35ピッチだけ回転した位置にある場合には、通風時の結果同様、比較的大きな ϕ の値となる。その模様を図42に例示する。その図によると、 $U_r = 19 \text{ m/s}$ の

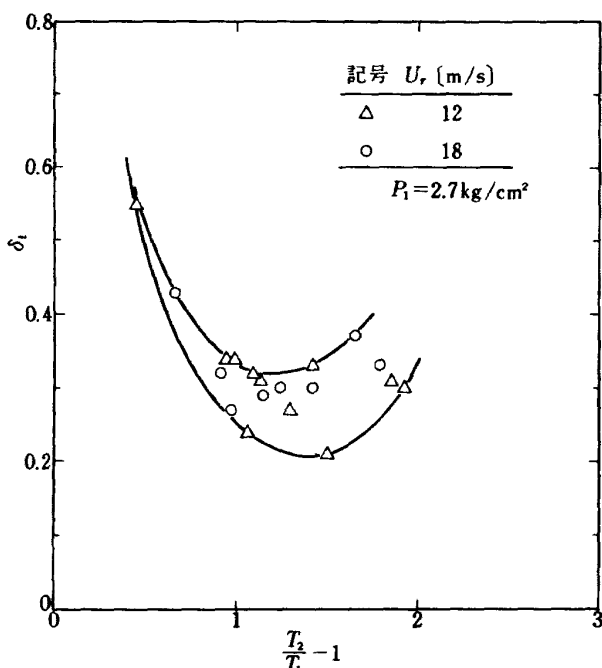


図 38 溫度上昇にたいする出口温度偏差値 (AS-250B)

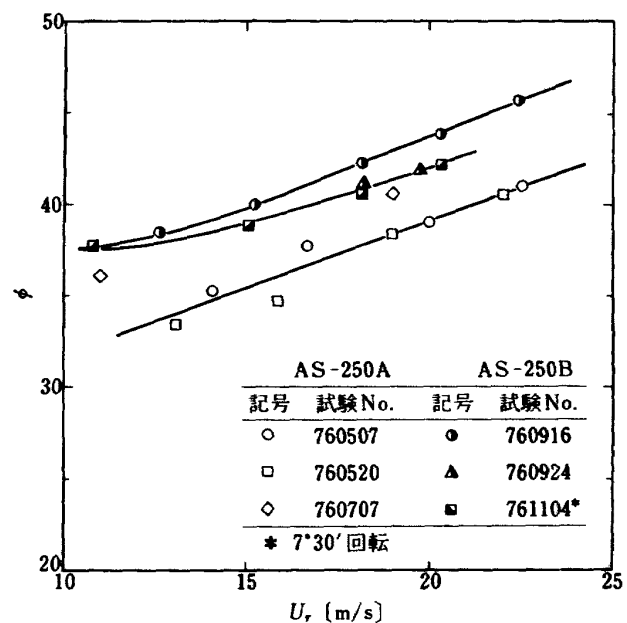


図 39 通風時の全圧損失係数

とき、 P_1 の違いは ϕ の値に余り影響を及ぼさない。 $U_r = 13 \text{ m/s}$ のときは、図 4-1 での傾向とは逆に、わずかではあるが P_1 が低い場合の方が小さな ϕ の値を示している。

AS-250B の場合は、図 4-3 に示すように P_1 の影響が比較的大きい。すなわち、同一の T_2/T_1 の値にたいし ϕ は P_1 が大きいほど低く、 U_r が小さいほど低い値

である。これは ϕ の値がライナ空気孔からの流れに影響されるのに加えて、AS-250B の全圧測定孔がこの流れの最も強い位置にあるためであろう。

以上のように、供試燃焼器の場合、一般に、 P_1 が大きくなる程、 ϕ は低下する傾向にある。これは燃焼器 CC-20 の場合と逆の傾向である。⁷⁾

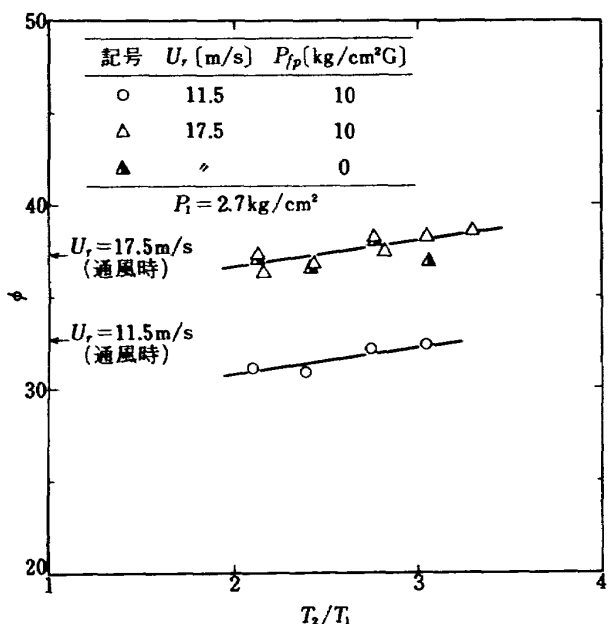


図 4-0 AS-250A の全圧損失係数

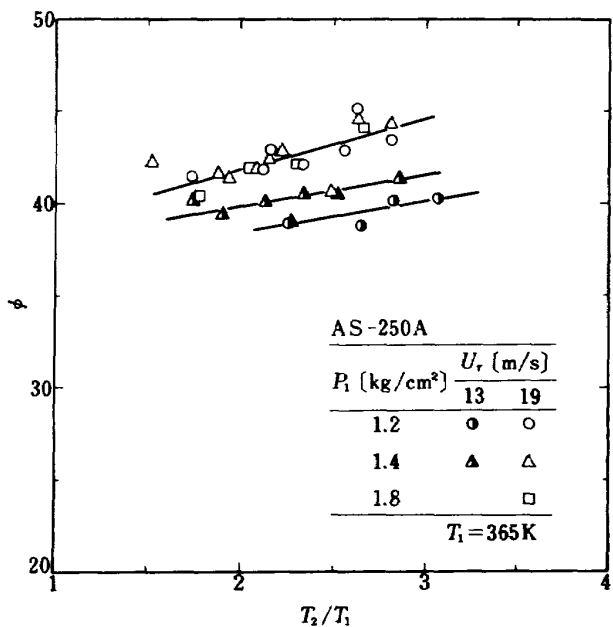


図 4-2 計測座 2/3 ピッチ回転時の全圧損失係数 (AS-250A)

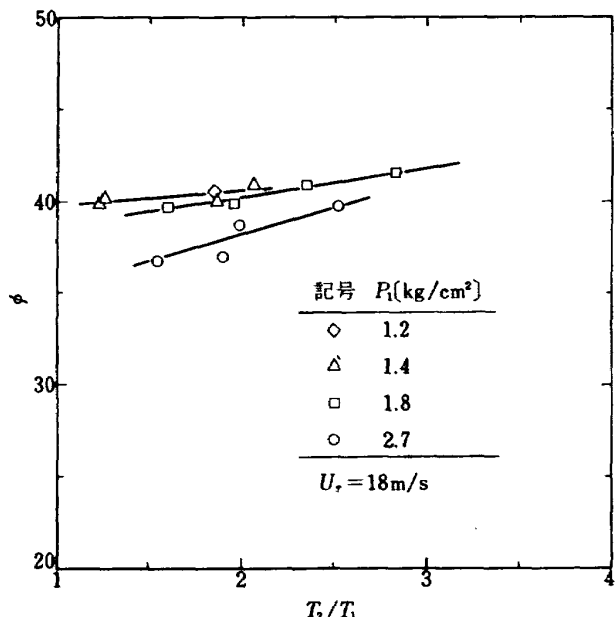


図 4-1 全圧損失係数の圧力に対する依存性 (AS-250A)

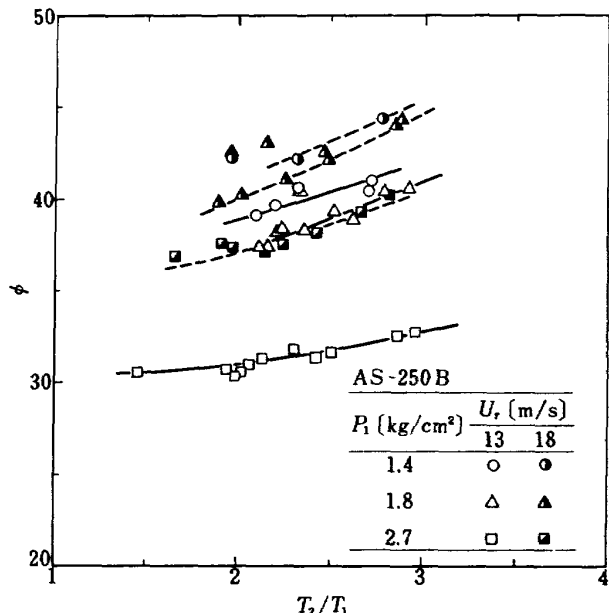


図 4-3 全圧損失係数の変化

3.4 空気量配分

燃焼器内筒へ流入する空気量のうち、直接計測することができるは、空気ダクトを通る空気流量 $(w_a)_d$ である。鈍頭部全周に 32 本設けた空気ダクトのうち図 7 に矢印で示す 4 本に、全圧管、および静圧管が取付けてあって、そこを通る空気流量を非燃焼時ばかりではなく、燃焼時にも計測することができる。

それら 4 本の空気ダクトを通る空気流量の合計を、全供給空気量 w_a の $4/32$ で除した値、 $(w_a)_d/w_a$ を、風速 U_r についてみてみると、図 4 4 のようになる。

図 4 4 によると、 $(w_a)_d/w_a$ は、わずかではあるが U_r の増加に伴なって増す傾向にある。 P_1 、および n にたいする依存性はほとんどない。

次に円周方向の偏よりをみるために、4箇所の空気ダクト、それぞれの空気流量を全供給空気流量の $1/32$ で除した値で示してみると、図 4 5 以下に示すような円周方向流量分布が得られる。

図 4 5 は、AS-250A の空気ダクト空気流量割合の円周方向分布である。これによると、プライマリ燃料噴射による影響は全くない。 $(w_a)_d/w_a$ の平均値は、 $U_r = 17 \text{ m/s}$ のとき 28 % であるが、最大値と最小値の差は 18 % もある。

AS-250B の場合を、図 4 6 に示す。この燃焼器では、図 4 5 の場合より最大値と最小値の差が 13 % と比較的小さい。またこの図では、空燃比 n の違いによる空気ダクト流量割合の変化が全くないことを示している。

同じ A 形の燃焼器でありながら、燃焼器内、外筒の分解、再組立てを行なった前後の結果では、図 4 7 に示すように、分布形が異なっている。両者の分布で、それぞれの平均値からの偏差値は余り相違ない。

図 4 8 に示すように組替え後の A 形燃焼器は B 形のもの

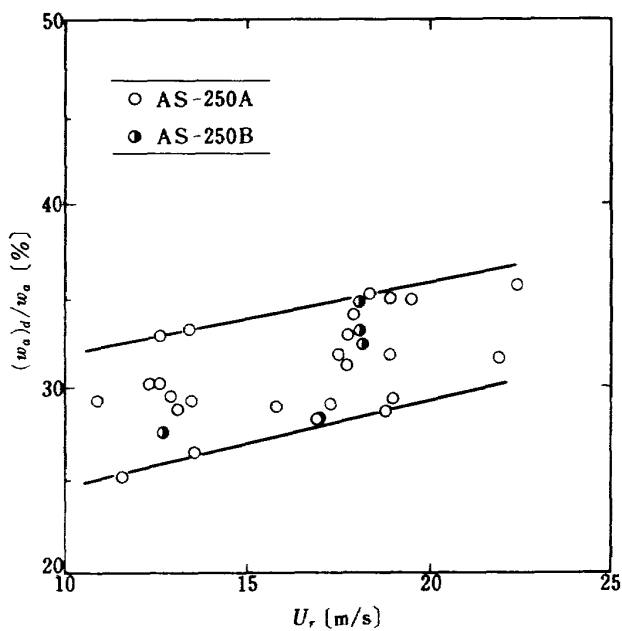


図 4 4 空気ダクト流量割合

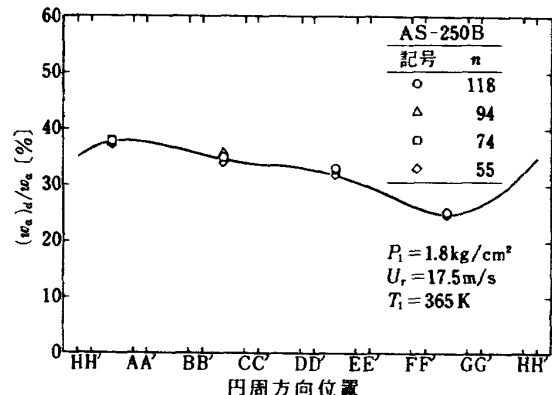


図 4 6 空気ダクト円周方向空気流入割合分布
(AS-250B)

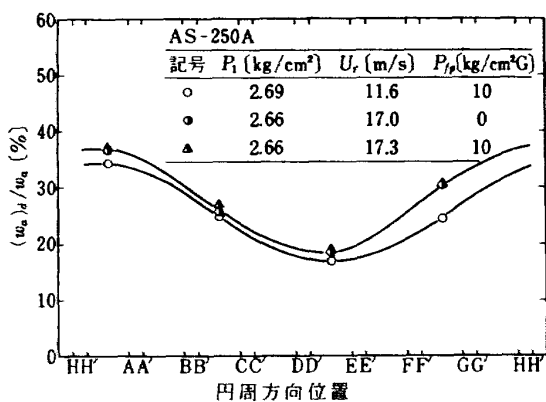


図 4 5 AS-250A の空気ダクト空気流量割合の分布

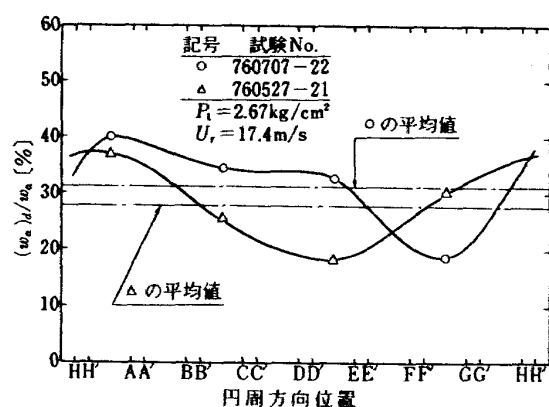


図 4 7 空気ダクト空気流入分布の組替えによる変化

とこの空気ダクト流量分布形において類似している。

以上のことから燃焼器内筒組立ての際のわずかな偏心等の誤差が、これら空気ダクト流入空気量の円周方向分布に影響を与えると考えられる。

また、他の原因として、空気ダクト流量の圧力測定を行なう個々のトランスマニホールドの違いも考えられたので、相互に交換して試験を行なってみたが、これに起因する相違は認められなかった。

一方、以前に同一試験設備で他の燃焼器をつかって環状通路全周の動圧測定をした際、周方向位置 B 付近で +4 %、F 付近で -4 % の偏りがみられた。⁷⁾ したがって図 48 の分布は、この試験設備固有の風速分布に基づく可能性が強い。

参考のために、空気ダクト内気流速度の一例を図 49 に示す。一般に、空気ダクト内気流速度の P_1 による違いはほとんどない。

今回の試験条件のほとんどで空気ダクト内気流速度は 30

m/s 以上、 $100 m/s$ 以下の範囲にあった。これは平均液滴粒径を $100 \mu m$ 以下とするのに十分な気流速度である。

3.5 遮熱板温度

遮熱板の温度を測定する熱電対の取付位置を図 11 に示したが、それらのうち、c および e は燃焼器組立時などに損傷したため、これらの点での計測は出来なかった。それ以外の点の実測温度を図 50 に示す。

図 50 で、 θ_s は次式で定義される無次元温度である。

$$\theta = \frac{T - T_1}{T_{SL} - T_1} \quad (3)$$

ここで、 T 、および T_{SL} は、それぞれ遮熱板温度、および遮熱板許容熱温度で、 $T_{SL} = 1150 K$ とした。

図 50 によると、a および b などが高い。すなわち混合気噴射管のある断面よりも、それらの中間であるスリットの近くの遮熱板温度が高い傾向にある。

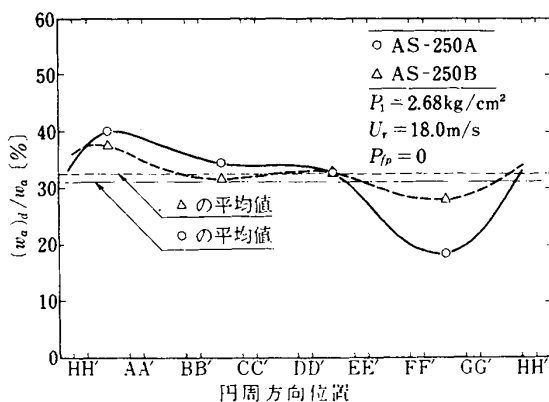


図 48 空気ダクト流量割合の円周方向分布

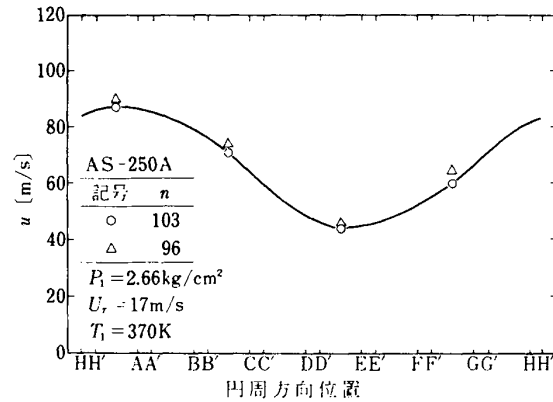


図 49 空気ダクト風速の円周方向分布

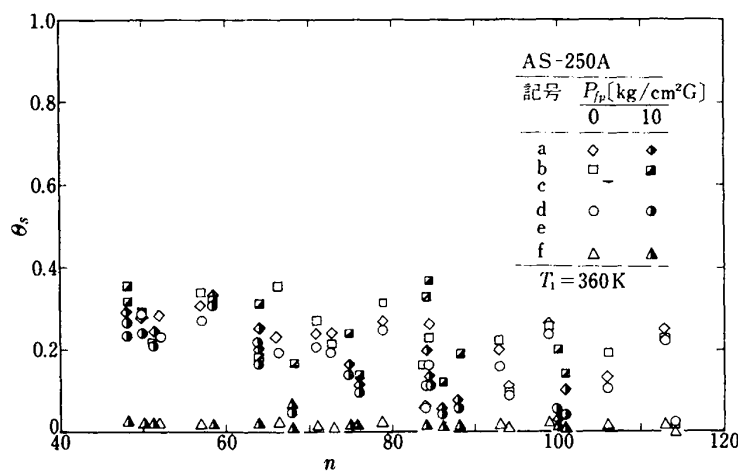


図 50 遮熱板温度実測結果

また、 f 点はほとんど過熱しないことがわかる。

今回の試験条件範囲では、遮熱板温度の空燃比、風速、圧力、あるいはプライマリ燃料噴射による影響は上記無次元温度で示すかぎり、明確に現われなかつた。このことは、燃焼器入口空気温度のみが遮熱板温度に与える影響が大きいことを示している。

4 考 察

燃焼器設計の際に、内筒の各開口部より燃焼室内へ流入する空気量を正しく見積ることは、燃焼性能の向上、有害排気成分の低減、さらには各部位の耐久性向上をはかるうえで重要である。

今回の燃焼器設計では、2.2.1に述べた方法によって、空気量配分を決めたが、3.4で示した空気ダクト内空気流量に関しては、その配分見積り値と実測値が大巾に異なる。

そこで以下に、実情に合った空気配分見積り法を提案する。

その後、供試燃焼器諸特性について、同形式のセクタ形燃焼器、あるいは、空気旋回器と圧力噴射弁をもつた従来形燃焼器などと比較考察を行う。

最後に、本形式の環状燃焼器の問題点、今後の課題などについて述べる。

今回試験したような比較的実用の燃焼器に近い模型では、実験室的規模の基礎実験模型と異なり、内筒の各開口部分へ流入する空気量を逐次測定することが難かしい。ことに、燃焼器内部の流れは、高温、高圧でかつ複雑な流れ場であること、一般に検出部自身の存在が被測定流ないしは燃焼器の特性に影響をおよぼす恐れがあること、および燃焼器は内筒、外筒の着脱をたびたび行うこと、などの点で内筒各部への流入配分量を正確に把握することは不可能である。

全く新しく設計する燃焼器などでは、内筒の各開口部からの流入空気量の見積りを、それらの開口面積をもって最初の目安とする。⁵⁾ 2.2.1で述べた設計法は、その方法に基づいている。それによると、今回の供試燃焼器における空気ダクトへの空気配分量は、全供給空気量の 16 %となつてゐる。

われわれが研究を行つてゐる形式の燃焼器の場合は、空気ダクトを通過する空気量を、そこに取付けた全圧管、静圧管によって比較的問題なく計測することが可能である。今回の供試燃焼器の場合でも、3.4に述べたような実測結果が得られている。それによると、空気ダクト通過空気量割合は、図 4.4 のように $U_r = 1.9 \text{ m/s}$ で、29 ~ 35 %の値となっている。

したがつて、この空気ダクト内空気流量は、頭初の設計

見積り値と大巾に異なる。

以下に空気ダクト内空気流量設計値が実測値と合致するような、新しい空気配分見積り法について検討してみる。

この方法では、燃焼器内の各部分を通過する流れにたいして、主な狭隘部分が「抵抗」として作用し、それが内筒各開口部への空気流入量配分を決定する要因になる、と考える。

まずこの方法では、燃焼器入口から全圧 P_t で流入した空気量 w_a が、一様な静圧 p_i の燃焼室内に流入すると仮定する。

本形式の燃焼器において、空気流路の狭隘な場所は、次の部分である。

- a) 空気ダクト内通路, A_d
- b) 外側デフューザ環状通路, A_{ol}
- c) 外側ライナ開口部, A_{ol}
- d) 鈍頭部冷却孔, A_b
- e) 遮熱板開口部, A_s
- f) 内側デフューザ環状通路, A_{id}
- g) 内側ライナ開口部, A_{il}

ここで、付記した記号、 A_j は添字 j で区別する場所、あるいはそこでの最小通路断面積を表わす。

これらの狭隘部分のうち、 A_{ol} と A_{il} 、 A_b と A_s 、あるいは A_{id} と A_{il} は、図 5.1(a)に示すように、それぞれ同一の流れが通過する。ただし、鈍頭部の一部に膜冷却方式を採用した AS-252⁸⁾ などの燃焼器では、 A_b を通過した空気の一部が A_s を経ないで燃焼室内へ流入している。

開口面積 A_j の任意の開口部を通過する空気量 Δw_{aj} は、流れを非圧縮性流体と考えたとき、

$$\Delta w_{aj} = C_j A_j \sqrt{\frac{2g}{\gamma} (P_t - p_i)} \quad (4)$$

と表わされる。ここで開口部は流れに対して任意の向きを考えるので、押し込み側(上流側)の圧力として、全圧 P_t を用いた。これ以下で用いる流量係数 C_j も上式の圧力差によって定義されるものである。

(4)式において Δw_{aj} を電流 $\sqrt{2g\gamma(P_t - p_i)} = \sqrt{4P}$ を電圧と考えると、抵抗が、

$$R_j = \frac{1}{C_j A_j} \quad (5)$$

で表わされる等価直流回路を考えることができる。

前記 A_d の通路の場合は(5)がそのまま適用できて、

$$R_d = \frac{1}{C_d A_d} \quad (6)$$

となる。

その他の場所では、初めの狭小部で ΔP_1 の圧力差が生

じ、次の狭小部で ΔP_2 の圧力差が生ずると考えると、

$$\Delta w_{a1} \cdot \frac{1}{C_1 A_1} = \sqrt{\Delta P_1} \quad (7)$$

$$\Delta w_{a1} \cdot \frac{1}{C_2 A_2} = \sqrt{\Delta P_2} \quad (8)$$

そして

$$\Delta P = \Delta P_1 + \Delta P_2 \quad (9)$$

であるから、直列に連なった狭小部の抵抗は、

$$R_j = \sqrt{\frac{1}{(C_1 A_1)^2} + \frac{1}{(C_2 A_2)^2}} \quad (10)$$

となる。

結局、図 5.1(b)に示す抵抗のみからなる等価直流回路を考えることができる。その中で、各抵抗を示す記号 R に添えた添字は、上記 a) ~ g) の場所を示した A の添字と対応する。

図 5.1(b)の全体の抵抗を R_t とすると、

$$\frac{1}{R_t} = \frac{1}{R_d} + \frac{1}{R_c} + \frac{1}{R_o} + \frac{1}{R_i} \quad (11)$$

ここで、

$$R_c = R_k + R_s = \sqrt{\frac{1}{(C_k A_k)^2} + \frac{1}{(C_s A_s)^2}} \quad (12)$$

$$R_o = R_{od} + R_{oi} = \sqrt{\frac{1}{(C_{od} A_{od})^2} + \frac{1}{(C_{oi} A_{oi})^2}} \quad (13)$$

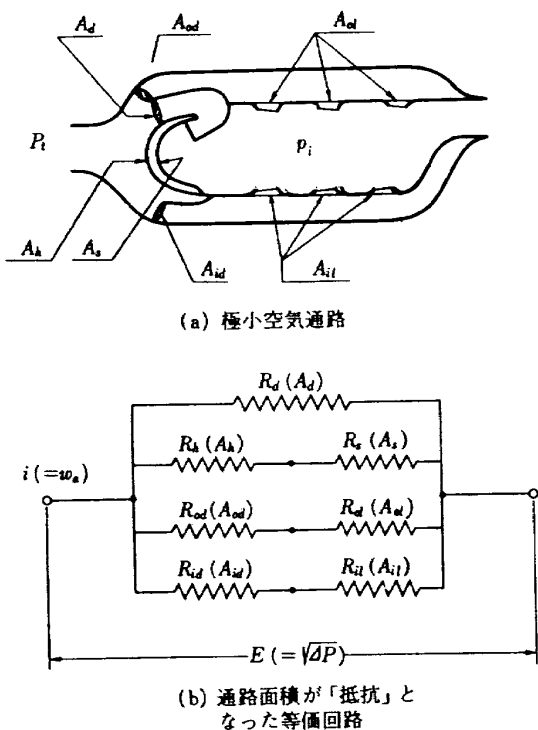


図 5.1 空気配分推算モデル

$$R_i = R_{id} + R_{it} = \sqrt{\frac{1}{(C_{id} A_{id})^2} + \frac{1}{(C_{it} A_{it})^2}} \quad (14)$$

である。

一方、上のモデルで、燃焼器主軸方向に連なったライナ空気孔列を、総開口面積 A_{ot} 、または A_{it} とし、それらの流量係数を、それぞれ、 C_{ot} 、または C_{it} で表わした。しかし、一般には、上流側ではかなり小さい流量係数で、下流側へゆくに従がって大きな値となる傾向にある。⁹⁾

本燃焼器などの場合には、等面積の空気孔を採用しているので、ライナ空気孔列にたいし(4)において $A_j = A_{th} =$ 一定である。そこで、軸方向 n 個の空気孔を通る空気流量は、

$$\sum_{j=1}^n \Delta w_{aj} = \tau A_{th} \sqrt{\frac{2g}{\tau} (P_t - p_i)} \sum_{j=1}^n C_j \quad (15)$$

空気孔総面積 nA_{th} にたいする平均流量係数を C_t で定義すると、

$$\sum_{j=1}^n \Delta w_{aj} = \tau C_t \cdot nA_{th} \sqrt{\frac{2g}{\tau} (P_t - p_i)} \quad (16)$$

(15)と(16)より、

$$C_t = (\sum_{j=1}^n C_j) / n \quad (17)$$

したがって、等面積空気孔列の流量係数は、(17)の定義による平均値で代表することができる。

表 2 燃焼器内主要空気流入狭隘部

開口部	燃 焼 器 A S -				
	250	24	125	125.1	252
A_d	107.5	59.1	105.3	73.9	107.5
A_k	113.7	117.3	86.5	86.5	53.3
A_s	153.4	130.4	111.3	111.3	66.9
A_{s1}					38.2
A_{od}	126.6	190.0	136.0	136.0	129.5
A_{oi}	188.9	273.0	208.9	208.9	230.7
A_{id}	138.1	138.0	138.5	138.5	150.3
A_{it}	199.9	240.3	198.2	198.2	198.4
備 考	3孔ライナ	4孔ライナ			3孔ライナ

(単位: cm²)

次に、個々の通路、又は開口部における流量係数の値をいかに見積るかが問題である。正しくは、今後の基礎実験や、関連研究に依るものとして、ここでは、とりあえず、次のような値を仮定した。

外筒、内筒間などの環状通路、および空気ダクトの流量係数は1、その他の空気孔、冷却孔、遮熱板スリット等の開口部のそれは0.6とした。

具体的に、表1に示した燃焼器、AS-250, AS-24, AS-125.0, AS-125.1, およびAS-252について上記の推定法の結果を実測値と比較してみる。ただし、上記諸燃焼器のうち、環状燃焼器はAS-250のみであって、他はすべてセクタ形燃焼器である。また、AS-252の場合は、他の燃焼器の鈍頭部が類似のインピングシング冷却法を採用して2重壁となっているのに反し、鈍頭部の燃焼器軸側（内側）半分が膜冷却方式を採用しているため、ライナ部同様、開口面積 A_{s1} のスリット構造となっている。したがって、図51(b)の等価回路を考える場合、この部の「抵抗」は、空気ダクト同様、単一である。

各燃焼器の空気ダクト空気流量割合、 $(w_e)_d / w_e$ 、と上記の推算法の結果を比較すると、図52、あるいは表3のようになる。

図52によると、本方法は2.2.2などで述べた単なる開口面積のみによる内筒流入空気量配分推定法より、はるかに精度の良い空気ダクト流量推算ができることがわかる。

また、本方法によれば、空気ダクト以外の内筒開口部から燃焼室内に流入する空気量も、表3に示すように推算が

できる。このうち、鈍頭冷却用の空気量の推算ができたことは、その冷却能力の見積りにも重要な資料となる。

次に、今回の供試燃焼器の特性を、他の燃焼器のものと比較してみる。

燃焼効率特性 図16より、各燃焼器の燃焼効率が、出口温度計測位置のそれぞれ異なった場合の値の平均で代表できるものとすると、図53に示すような特性となる。従来形

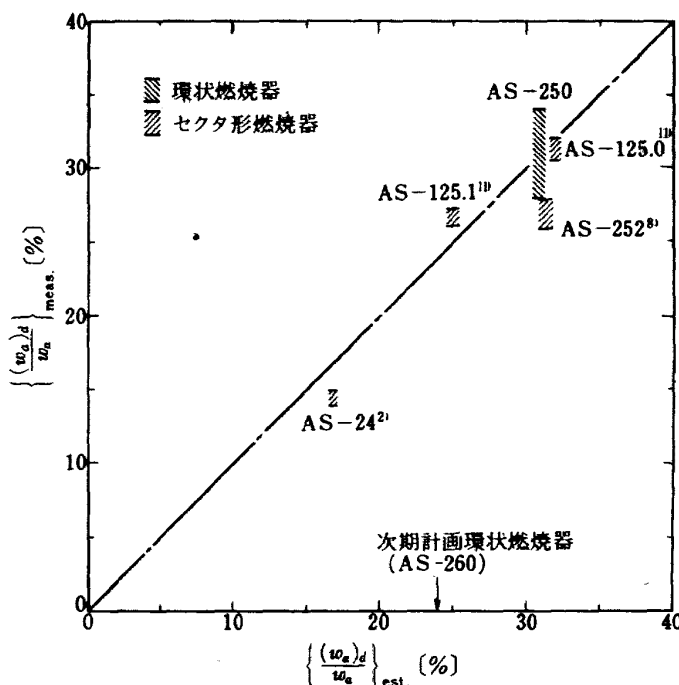


図 52 空気ダクト流量の推算値と実測値

表3 空気流量配分（全供給空気量にたいする割合：%）

燃 焚 器 AS-	2 5 0	2 5 2	1 2 5	1 2 5.1	2 4	(2 6 0)
空気ダクト流量 (実測値)	2 9 ~ 3 5	2 6 ~ 2 8	3 1 ~ 3 2	2 6 ~ 2 8	1 4 ~ 1 5	-
空 気 ダ ク ト	3 1	3 1	3 2	2 5	1 8	2 4
鈍 頭 冷 却 (インピングシング)	1 6	7	1 2	1 4	1 6	1 4
鈍 頭 冷 却 (膜)		7				
外 側 ラ イ ナ	2 5	2 8	2 8	3 1	3 7	3 1
内 側 ラ イ ナ	2 7	2 7	2 8	3 0	2 9	3 1

の燃焼器で、同一試験設備で試験した結果のうち、比較的良好なものの燃焼効率の範囲を、同図中、斜線で示す。これによると、供試燃焼器は、従来形に遜色ない燃焼効率特性をもつことがわかる。

出口温度分布 温度不均一率 δ_1 として要求される値は、0.2以下である。今回の供試燃焼器の場合、概して0.2から0.4程度の大きな値であった。この主たる原因是、円周上に32本ある主燃料ノズルの燃料吐出量不均一である。今回の試験は、常圧であったため、燃料吐出量が少なくて、したがってメータリングオリフィスも約0.3mmと小さいものを用いている。このため製作精度による各流量係数の違い、燃料中の異物の存在による閉塞などが各ノズルの吐出量のばらつきを大きくしたものと考えられる。

今後は、幾本かの燃料ノズルにつきメータリングオリフィス1箇を使用するが、ノズル先端孔のみの燃料メータリングで済ますことが考えられる。そうすれば燃料ノズル閉塞による温度分布均一度の低下は比較的防げる。

半径方向出口温度分布は、ライナ空気孔との相対位置の影響が大きいことがわかった。ターピン翼の耐久性から要求される分布形状は、下部($r \ll 1$)で低温の形であるので、希稀空気の貫通度、円周方向のガス混合などを勘案して、分布形状を整えてゆく必要があろう。

圧力損失 FJR710エンジン用燃焼器の全圧損失係数として要求値は、全圧損失率を4%以下にとるとゆく4.5である。

図42や43に示した全圧損失係数が、今回の試験中、最も高い部類のものである。3.3に記した理由から、これらの場合の出口全圧の計測値が実際の出口全圧平均値より低い可能性がある。それを考えると、真の全圧損失係数の値はそれらの図の値より幾分小さいと予想される。

また、設計点付近の温度比 T_2/T_1 は2前後であること、従来形と異なって⁷⁾、入口空気圧力 P_1 が増加したところが低下し、今回の試験結果より安全側にゆく傾向を示していることなどから、供試燃焼器の圧力損失は十分に満足できる範囲にあることがわかる。

耐久性 今回の一連の燃焼試験では焼損した箇所は無かった。また、測定可能であった場所の遮熱板温度も、耐熱限度と仮定した $T_{SL} = 1150\text{ K}$ にたいし十分低い値であった。

以上のことから、この段階での本燃焼器の耐熱性、耐久性は十分であると考える。

なお、本燃焼試験終了後の観察では、著しい炭素堆積などは全く無かった。

5 結論

燃料気流微粒化方式の新形式燃焼器で、環状模型AS-250を設計、製作し、その試験を行なった。その結果、所期の性能を持つことが判明し、今後の発展性が期待できることがわかった。

今回、明らかになった主要な点を要約すると以下の如くである。

- 1) AS-250燃焼器でA形、B形共に十分な燃焼効率と圧力損失の特性をもつ。A形とB形の比較では、ややB形がすぐれている。
- 2) 周方向出口温度分布の不均一には、燃料ノズル吐出流量のばらつきが影響を与えている。また、半径方向温度分布について言えば、ライナ空気孔列中間位置では等温分布に近いが、空気孔列後流側では中高となる。
- 3) 今回使用した燃焼器試験設備では、燃焼器出口でのエンタルピ分布と、計測器感知部の相対位置に留意して結

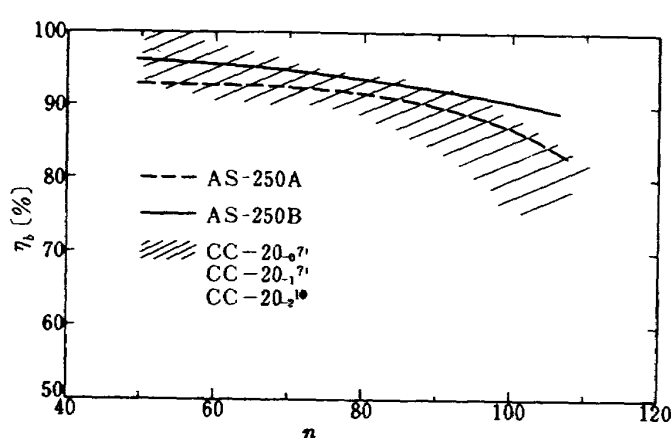


図 53 供試燃焼器と従来形燃焼器の燃焼効率特性の比較

果を検討する必要がある。また、同設備の固有の供給空気の偏よりは、空気ダクト内の空気流量割合に大きな影響を与える。

- 4) 空気ダクト内を通過する空気流量は、燃焼器内の空気通路で、絞りとなる部分の面積が抵抗となると仮定した等価回路計算により、実測値と比較的良い一致をみる。以上の結果、次の同形式の燃焼器設計に際しては、より正確で、適確な設計が行なえることとなった。

次報以降では、高圧時の燃焼と排気ガス特性等について検討する。

なお、本研究は、通産省工業技術院大型工業技術研究開発のひとつ、「航空機用ジェットエンジンの研究開発」の一環としておこなったものである。

参考文献

- 1) 田丸卓、鈴木邦男；新形式ガスターイン燃焼器の研究（第1報、常圧試験性能），航技研資料 TM - 297 (1976/4) 限定配布
- 2) 田丸卓、鈴木邦男、山田秀志、堀内正司、下平一雄、石井浅五郎；新形式ガスターイン燃焼器の研究（第2報、AS - 20系セクタ燃焼器の特性），航技研資料 TM - 324 (1977/1) 限定配布
- 3) 航空技術研究所原動機部；航空技術研究所のターボ・ジェットエンジン要素試験設備，航技研報告，TR - 24,

(1962/2) pp.1-73

- 4) 鈴木邦男、石井浅五郎；高圧燃焼器の研究(II)，航技研資料 TM - 242 (1973/6)
- 5) 鈴木邦男、田丸卓、堀内正司、斎藤隆；ガスターイン燃焼器，航技研報告 TR - 208 (1970/9) pp 27-30
- 6) 田丸卓、鈴木邦男；燃焼蒸発管に関する研究(N)-蒸発管付箱形燃焼器の特性-，航技研資料 TM - 282 (1975/8)
- 7) 鈴木邦男、石井浅五郎；高圧燃焼器の研究(III)-1次試作アニア型燃焼器模型(CC20-0, CC20-1)の実験結果-，航技研資料 TM - 285 (1975/10)
- 8) 田丸卓、鈴木邦男、山田秀志、斎藤隆、堀内正司、下平一雄；新形式ガスターイン燃焼器の研究（第4報、鈍頭膜冷却方式セクタ燃焼器の特性），航技研資料 TM - 332 (1977) 限定配布
- 9) Dittrich, R.T. and Graves, C.C.; Discharge Coefficients for Combustor-Liner Air-Entry Holes. I-Circular Holes with Parallel Flow, NACA TN 3663 (1956)
- 10) 鈴木邦男、石井浅五郎；高圧燃焼器の研究(N)-アニア型燃焼器模型(呼称CC20-2)の実験結果-航技研資料 TM - 292 (1976/2)
- 11) 航技研資料として刊行予定。

No	P_1 kg/cm ² abs	w_a	w_f	U_r	t_1 ℃	t_2 ℃	Δt deg C	δ_t	σ deg C	T_2/T_1	$\frac{\Delta P}{P_1}$	ϕ	n	η_b %	$L_b \times 10^{-7}$ kcal/ m^3h	$P_f \text{ kg}/\text{cm}^2\text{G}$			
																		P	M
1000	10.98	2.377	0	13.11	354	34.1	-	-	-	1.00	0.033	33.5	-	-	-	-	-	-	-
2000	11.130	2.902	0	15.86	41.6	40.2	-	-	-	1.00	0.048	34.7	-	-	-	-	-	-	-
3000	11.184	3.556	0	18.96	48.5	47.1	-	-	-	1.00	0.075	38.3	-	-	-	-	-	-	-
4000	12.53	4.267	0	21.95	55.4	53.0	-	-	-	0.99	0.104	40.5	-	-	-	-	-	-	-
0001	11.120	2.177	0.0203	12.73	60.5	472.6	412.0	0.46	111.5	2.24	0.029	34.2	107.3	110.6	2.8	1.2	0	0	
0002	11.129	2.184	0.0251	12.75	62.7	549.7	487.0	0.57	154.5	2.45	0.029	34.1	86.8	107.0	3.4	2.0	0	0	
0003	11.135	2.178	0.0291	12.77	66.0	638.6	572.5	0.48	143.5	2.69	0.029	34.5	74.9	110.2	4.0	1.0	0.3		
0004	11.138	2.173	0.0352	12.93	71.9	752.7	680.8	0.47	166.0	2.97	0.030	35.1	59.7	108.0	4.9	1.0	0.9		
0005	11.199	3.233	0.0215	18.46	75.7	157.4	81.7	2.79	105.1	1.23	0.060	35.5	150.3	30.8	0.8	16	0		
0006	12.111	3.225	0.0283	17.57	78.8	247.7	168.9	1.89	139.5	1.48	0.059	35.1	114.2	42.9	1.5	25	0		
0007	12.227	3.187	0.0341	18.11	81.9	492.3	410.4	0.44	97.7	2.16	0.058	36.3	93.5	97.3	3.8	10	0.4		
0008	12.336	3.185	0.0403	18.07	83.9	593.0	509.0	0.39	112.8	2.43	0.058	36.4	79.0	103.3	4.7	10	1.1		
0009	14.228	3.776	0.0333	18.86	90.3	428.9	338.7	0.47	87.0	1.93	0.064	37.7	113.2	96.2	3.2	20	0.4		
0010	14.32	3.752	0.0349	18.80	92.4	460.7	368.2	0.52	96.4	2.01	0.064	37.8	107.4	99.5	3.4	25	0.4		
0011	14.28	3.767	0.0340	19.03	94.4	430.5	336.1	0.42	77.8	1.91	0.065	37.6	110.7	93.5	3.1	10	1.0		
0012	14.337	3.741	0.0482	188.7	96.0	619.5	523.5	0.44	106.8	2.42	0.064	38.4	77.5	104.7	4.9	10	1.9		
0018	18.47	?	?	9.87	341.3	242.5	0.42	61.5	1.65	0.050	?	?	?	?	?	10	1.2		
0019	18.51	4.267	0.0375	16.86	99.3	439.4	340.2	0.42	72.5	1.91	0.050	37.9	113.7	97.3	2.8	10	1.6		
0020	18.44	4.257	0.0540	16.94	100.7	619.0	518.3	0.27	97.9	2.39	0.051	38.3	78.7	105.2	4.3	10	2.9		
0120	18.62	4.229	0.0707	16.76	102.6	778.5	675.9	0.36	129.6	2.80	0.049	37.6	59.8	106.9	5.7	10	4.5		
0021	18.43	4.688	0.0382	188.8	104.8	400.5	295.7	0.35	69.6	1.78	0.063	38.6	122.8	90.9	2.7	10	1.7		
0022	18.59	4.644	0.0499	18.59	106.2	541.8	435.7	0.30	83.3	2.15	0.063	39.4	93.0	103.5	3.9	10	2.5		
0023	18.68	4.628	0.0674	18.49	107.0	697.9	590.9	0.33	109.2	2.55	0.061	38.8	68.7	106.0	5.4	10	4.3		
0024	18.47	4.667	0.0849	18.92	108.3	827.6	719.3	0.33	135.3	2.89	0.064	39.4	55.0	105.3	6.8	10	6.5		
0025	2.672	4.819	0.0392	13.58	110.6	449.5	339.0	0.38	69.1	1.88	0.030	35.3	122.7	104.6	2.2	10	2.6		
0026	2.678	4.593	0.0501	12.93	110.9	568.7	457.8	0.43	89.7	2.19	0.026	33.8	91.7	107.4	2.8	10	3.4		
0027	2.677	4.697	0.0685	13.26	111.5	722.4	610.9	0.41	116.4	2.59	0.027	34.0	68.5	109.6	3.9	10	5.1		
0028	2.677	4.617	0.0806	13.03	111.9	799.5	687.6	0.41	139.4	2.79	0.027	35.6	57.2	104.4	4.4	0	9.0		

1976年5月27日(木) ライナAS-250A(第4回テスト)

 $P_e = 754.5 \text{ mmHg}$

No	P_1 kg/cm ² abs	w_s kg/s	w_f kg/s	U_r m/s	T_1 K	T_2 K	ΔT degK	δ_t degK	σ degK	T_2/T_1 K/K	$\frac{\Delta P}{P_1}$	ϕ	n	η_b %	$L_b \times 10^{-7}$ kcal/m ³ atm	$T [K]$			
																P_f kg/cm ² G	M	P	M
0017	2.686	4.508	0.0387	11.59	352	742	390	0.38	45.0	2.11	0.021	31.0	11.64	112.8	2.3	10	2.6	63.6	46.7
0018	2.691	4.262	0.0466	11.12	358	854	496	0.41	58.4	2.39	0.019	30.8	91.4	114.7	2.8	10	32	67.6	49.1
0019	2.689	4.426	0.0648	11.63	360	988	628	0.37	76.3	2.75	0.021	32.0	68.3	111.0	3.8	10	4.8	65.5	52.0
0120	2.688	4.466	0.0782	11.80	362	1102	740	0.38	106.8	3.05	0.022	32.3	57.1	111.3	4.6	10	6.5	62.5	48.2
0021	2.661	6.294	0.0612	17.02	367	785	418	0.28	48.2	2.14	0.050	36.0	102.6	107.5	3.5	10	4.4	63.3	44.9
0022	2.663	6274	0.0759	17.16	371	889	518	0.30	64.1	2.40	0.050	36.3	82.7	109.2	4.4	10	6.2	65.6	48.1
0023	2.662	6250	0.1005	17.20	373	1044	671	0.31	96.1	2.80	0.051	37.2	62.1	109.0	5.8	10	10.1	61.4	50.9
0124	2.662	6299	0.1318	17.48	376	1234	857	0.64	125.4	3.28	0.054	38.4	47.8	110.5	7.7	10	17.5	55.5	54.2
0029	2.663	6.210	0.0647	17.33	379	808	429	0.26	48.6	2.13	0.051	37.0	95.9	103.8	3.5	0	6.6	59.6	49.1
0030	2.663	6.176	0.0800	17.28	380	921	541	0.23	62.9	2.43	0.050	36.5	77.1	107.1	4.5	0	9.0	59.6	51.2
0031	2.662	6.198	0.1029	17.41	381	1053	672	0.28	86.4	2.76	0.053	38.0	60.2	106.1	5.8	0	13.7	56.5	53.1
0132	2.660	6.277	0.1217	17.71	382	1166	784	0.30	100.4	3.05	0.053	37.0	51.6	108.1	7.0	0	25.7	55.3	54.3

No	P_1 kg/cm ² abs	w_a	w_f	U_r m/s	K	ΔT deg K	δ_t	σ $1/\text{deg K}$	σ/AT $1/\text{deg K}$	T_2/T_1	$\Delta P/P_1$	ϕ	n	η_b %	$L_b \times 10^{-7}$ kcal/m ³ h atm	P_f kg/cm ² G	M	注)	
1000	1.067	1.953	0	1093	304	304	-	-	-	1.00	0.025	361	-	-	-	-	-	-	-
2000	11.62	3.403	0	1795	312	312	-	-	-	1.00	0.073	40.7	-	-	-	-	-	-	-
1	1.212	3.251	0.0347	1810	344	637	293	0.69	109.7	0.374	1.85	0.067	40.5	93.7	68.1	2.7	1.0	3.3	{通風}
2	1.431	2.630	0.0310	1265	351	872	522	0.55	124.5	0.239	2.48	0.031	38.7	84.9	112.3	3.4	2.0	0.4	
3	1.422	2.643	0.0173?	1286	353	745	393	0.41	81.0	0.206	2.11	0.032	39.4	1523?	1484?	2.5	1.0	1.0	T.F.M.世界
4	1.431	2.634	0.0272	1282	355	783	283	0.48	98.6	0.348	2.21	0.031	39.0	96.8	104.0	2.8	1.0	1.9	
5	1.405	3.562	0.0167?	1786	359	440	81	2.40	1012	1.249	1.23	0.062	39.8	214.2?	42.7?	0.7	1.0	0.9	T.F.M.世界 燃えてない 燃えてない
6	1.422	3.528	0.0195	1760	361	453	92	2.18	1178	1.280	1.25	0.060	40.1	181.6	41.12	0.8	1.0	1.3	
7	1.443	3.518	0.0285	1741	364	678	315	0.36	92.4	0.293	1.87	0.058	40.0	123.7	96.6	2.7	1.0	2.2	
8	1.431	3.681	0.0371	1845	365	755	390	0.38	90.3	0.232	2.07	0.066	40.8	99.3	97.4	3.5	1.0	5.0	
9	1.845	3.138	0.0124?	1226	367	686	318	0.47	76.8	0.242	1.87	0.027	38.0	252.0?	196.9?	1.8	1.0	1.3	T.F.M.世界
10	1.826	3.178	0.0260	1260	369	719	350	0.40	80.1	0.229	1.95	0.028	37.2	122.4	106.7	2.1	1.0	1.9	
11	1.848	3.096	0.0320	1217	370	803	433	0.35	85.3	0.197	2.17	0.027	38.4	96.6	105.2	2.6	1.0	3.8	
12	1.819	4.459	0.0352	1815	377	604	227	0.39	72.9	0.321	1.60	0.060	39.6	126.5	62.8	1.7	0	10.5	
13	1.846	4.398	0.0439	1773	379	744	365	0.20	42.3	0.116	1.96	0.057	39.8	100.2	91.16	3.1	0	12.5	
14	1.884	4.284	0.0569	1697	380	892	512	0.17	65.9	0.129	2.35	0.054	40.8	75.3	98.9	4.2	0	15.0	
15	1.861	4.359	0.0786	1753	381	1077	696	0.23	77.0	0.111	2.83	0.058	41.5	55.4	101.8	6.0	0	18.0	
16	2.668	4.142	0.0596	1169	383	969	586	0.21	61.3	0.105	2.53	0.022	35.6	69.4	105.9	3.3	0	12.0	
17	2.668	4.257	0.0521	1202	384	895	511	0.24	54.5	0.107	2.33	0.022	33.6	81.7	107.3	2.9	0	10.0	
18	2.663	4.573	0.0423	1297	385	763	378	0.22	38.1	0.101	1.98	0.026	34.5	107.9	102.6	2.3	0	7.5	
19	2.642	6.997	0.0425	1727	388	600	213	0.38	51.5	0.242	1.55	0.049	36.7	141.1	64.2	1.5	0	7.5	
20	2.645	5.761	0.0509	1662	389	739	351	0.19	35.5	0.101	1.90	0.046	36.9	113.1	99.5	2.7	0	10.0	
21	2.641	6.120	0.0591	1776	390	775	384	0.20	37.8	0.098	1.99	0.054	38.6	103.4	100.3	3.2	0	12.5	
22	2.638	6.080	0.0873	1770	391	986	595	0.30	77.9	0.131	2.52	0.055	39.6	69.6	107.7	5.0	0	18.0	

1976年7月9日(金) ライナ AS-250A (第6回テスト) 7.5° 回転状態

 $P_e = 757.1 \text{ mbar}$

No	P_1 kg/cm ² abs	w_a kg/s	w_f kg/s	U_r m/s	K	K	ΔT deg K	δ_t	σ $\frac{1}{\text{deg K}}$	$\sigma/4T$ $\frac{\text{kcal}}{\text{m}^3 \text{h atm}}$	T_2/T_1	$\frac{\Delta P}{P_1}$	ϕ	n	η_b %	$L_b \times 10^{-7}$ $\frac{\text{kcal}}{\text{m}^3 \text{h atm}}$	P_f kg/cm ² G	P M*
1	1.132	2.309	0.0228	13.56	339	768	429	0.38	89.8	0.209	2.26	0.037	38.9	101.3	1084	3.1	1.3	0.3
2	1.141	2.313	0.0340	13.55	341	904	563	0.35	110.8	0.197	2.65	0.036	38.8	68.1	98.1	4.1	2.3	0.3
3	1.149	2.301	0.0892	13.50	343	972	629	0.28	128.9	0.205	2.83	0.037	40.1	58.6	95.5	4.6	1.0	0.7
4	1.158	2.304	0.0462	13.50	346	1065	719	0.25	61.5	0.086	3.07	0.037	40.3	49.9	94.6	5.3	1.0	1.2
5	1.252	3.322	0.0386	18.20	350	743	393	0.38	60.9	0.155	2.12	0.069	41.8	85.9	84.6	3.7	1.0	0.8
6	1.261	3.323	0.0440	18.23	353	824	472	0.30	69.2	0.147	2.33	0.069	42.1	75.6	90.4	4.4	1.0	1.1
7	1.276	3.313	0.0518	18.11	355	910	555	0.21	89.8	0.167	2.56	0.069	42.9	64.0	91.4	5.2	1.0	1.7
8	1.301	3.328	0.0646	17.97	358	1009	651	0.33	114.3	0.176	2.81	0.068	43.4	51.5	88.0	6.1	1.0	3.0
9	1.249	3.383	0.0359	19.22	362	630	268	0.47	70.2	0.262	1.74	0.074	41.4	94.2	62.8	2.5	0	2.0
10	1.264	3.355	0.0459	18.93	364	788	424	0.42	68.0	0.160	2.16	0.074	42.9	73.0	78.5	4.0	0	2.9
11	1.284	3.321	0.0640	18.56	365	961	596	0.42	43.7	0.073	2.63	0.074	45.1	51.9	80.8	5.7	0	5.2
12	1.421	2.694	0.0320	13.64	367	836	469	0.40	57.1	0.122	22.7	0.035	39.0	84.1	99.9	3.2	2.0	0.6
13	1.427	2.659	0.0353	13.46	368	864	495	0.32	80.8	0.163	2.34	0.035	40.5	75.4	95.3	3.3	1.0	0.9
14	1.440	2.659	0.0415	13.38	369	931	562	0.32	108.6	0.193	2.52	0.034	40.5	64.0	93.2	3.8	1.0	1.2
15	1.464	2.627	0.0544	13.05	371	1064	693	0.36	14.28	0.206	2.86	0.033	41.3	48.3	88.8	4.6	1.0	2.0
16	1.430	2.632	0.0232	13.47	373	652	279	0.39	46.3	0.166	1.74	0.034	40.1	113.4	78.5	1.8	0	1.3
17	1.451	2.650	0.0268	13.37	373	709	337	0.41	52.3	0.155	1.90	0.033	39.4	99.0	83.3	2.2	0	1.5
18	1.463	2.636	0.0335	13.20	373	796	423	0.43	89.2	0.211	2.13	0.033	40.1	78.7	84.4	2.7	0	2.0
19	1.430	2.691	0.0471	13.80	374	932	558	0.46	94.6	0.170	2.49	0.037	41.6	57.2	83.4	3.9	0	3.2
20	1.400	3.675	0.0418	19.47	378	787	409	0.38	85.0	0.208	2.08	0.073	41.9	87.8	91.1	3.8	1.0	1.1
21	1.405	3.666	0.0369	19.43	379	738	359	0.35	50.5	0.141	1.94	0.072	41.4	99.6	90.1	3.3	6	1.1
22	1.434	3.636	0.0432	18.77	377	814	437	0.29	67.7	0.155	2.15	0.069	42.4	84.3	93.4	4.0	6	1.5
23	1.483	3.564	0.0738	17.84	378	1062	684	0.37	117.3	0.171	2.81	0.065	44.3	48.3	87.6	6.1	6	4.5
24	1.401	3.650	0.0319	19.39	379	577	198	0.61	72.6	0.367	1.52	0.073	42.2	114.5	56.0	1.8	0	1.8
25	1.445	3.627	0.0387	18.73	380	713	333	0.35	57.8	0.174	1.88	0.067	41.6	93.7	78.3	2.9	0	2.4
26	1.444	3.624	0.0511	18.78	381	847	466	0.35	67.4	0.145	2.22	0.069	42.8	70.8	84.3	4.2	0	3.6
27	1.438	3.664	0.0732	19.07	381	1001	620	0.42	109.7	0.177	2.63	0.074	44.5	50.1	81.8	5.9	0	6.6
28	1.806	4.399	0.0415	18.42	385	682	297	0.30	70.7	0.238	1.77	0.062	40.4	106.0	78.5	2.5	0	3.0
29	1.847	4.337	0.0516	17.80	386	792	406	0.30	58.2	0.143	2.05	0.060	41.9	84.1	86.5	3.4	0	4.0
30	1.838	4.343	0.0654	17.91	386	889	503	0.33	78.3	0.156	2.30	0.061	42.1	66.4	86.1	4.3	0	5.7
31	1.819	4.361	0.0899	18.22	387	1030	643	0.33	121.4	0.189	2.66	0.066	44.1	48.5	82.5	5.7	0	10.0

註 * $P_f M \cdot 0$ 点は $0.2 \text{ kg/cm}^2 \text{G}$

1976年9月16日(木) ライナAS-250B (第1回テスト)

 $T_e = 24.0^\circ\text{C}$ $P_e = 754.9 \text{ mmHg}$

No	P_1 kg/cm ² abs	w_a	w_f	U_r m/s	T_1 K	ΔT deg K	δ_t	σ	$\frac{\sigma}{\Delta T}$ 1/deg K	T_2/T_1	$\frac{\Delta P}{P_1}$	ϕ	n	η_b	$L_b \times 10^7$ kcal/m ³ h atm	P_f kg/cm ² G			備考	
																P	M	P	M	通風
1000	11.73	34.55	0	181.3	314	314	-	-	-	1.00	0.077	42.3	-	-	-	-	-	-	-	-
2000	12.19	39.10	0	202.9	322	322	-	-	-	1.00	0.097	43.8	-	-	-	-	-	-	-	-
3000	12.78	44.28	0	224.0	329	329	-	-	-	1.00	0.121	45.7	-	-	-	-	-	-	-	-
4000	11.15	26.21	0	15.25	331	330	-	-	-	1.00	0.049	40.0	-	-	-	-	-	-	-	-
5000	10.84	21.07	0	12.66	332	331	-	-	-	1.00	0.032	38.5	-	-	-	-	-	-	-	-
1	1.839	324.3	0.0265	121.3	351	662	312	0.33	64.7	0.0207	18.9	0.029	39.9	122.2	93.1	1.9	1.0	1.1		
2	1.829	327.9	0.0352	124.0	352	760	408	0.37	79.0	0.194	21.6	0.029	37.4	93.2	95.3	2.6	1.0	1.4		
3	1.807	327.2	0.0428	126.2	355	828	473	0.34	87.5	0.185	2.33	0.032	40.5	76.5	91.8	3.1	1.0	1.9		
4	1.820	328.3	0.0616	126.4	357	1039	682	0.39	137.3	0.201	2.91	0.032	40.6	53.3	95.4	4.5	1.0	3.8		
5	1.835	44.91	0.0415	174.2	362	705	342	0.31	70.9	0.207	1.95	0.062	42.5	108.1	92.0	2.9	1.0	1.8		
6	1.820	45.01	0.0508	177.3	365	785	420	0.30	86.9	0.207	2.15	0.065	43.1	88.5	93.6	3.7	1.0	2.6		
7	1.808	45.28	0.0655	180.6	367	898	531	0.32	104.8	0.197	2.45	0.066	42.6	69.1	94.1	4.8	1.0	4.3		
8	1.820	45.18	0.0896	180.1	370	1052	682	0.33	143.9	0.211	2.84	0.067	44.1	49.9	89.9	6.2	1.0	9.0		
9	2.729	4.721	0.0396	126.8	374	742	369	0.34	64.0	0.173	1.99	0.023	30.4	119.3	110.4	2.3	1.0	2.6		
10	2.727	48.06	0.0460	129.6	375	788	413	0.32	69.0	0.167	2.10	0.024	30.5	104.4	109.1	2.6	1.0	3.2		
11	2.727	47.73	0.0609	129.2	376	910	534	0.33	87.7	0.164	2.42	0.024	31.3	78.3	107.1	3.4	1.0	4.8		
12	2.729	47.70	0.0849	129.3	377	1075	698	0.31	128.4	0.184	2.85	0.025	32.3	56.2	103.4	4.5	1.0	8.8		
13	2.714	63.16	0.0604	177.2	388	765	377	0.27	72.7	0.193	1.97	0.053	37.3	104.7	99.2	3.1	1.0	4.4		
14	2.712	64.68	0.0729	182.2	389	833	444	0.29	87.1	0.196	2.14	0.055	37.1	88.7	100.0	3.8	1.0	6.2		
15	2.711	65.02	0.0952	183.8	390	944	553	0.30	113.0	0.204	2.42	0.058	38.1	68.4	98.0	4.8	1.0	10.1		
16	2.706	66.82	0.1295	189.9	392	1094	702	0.33	157.1	0.223	2.79	0.065	40.3	51.6	96.3	6.5	1.0	20.2		
17	2.713	62.76	0.485	178.6	393	651	258	0.43	81.4	0.316	1.66	0.052	36.8	129.5	82.7	2.1	0	5.8		
18	2.710	65.34	0.0632	186.5	394	752	358	0.32	89.3	0.249	1.91	0.058	37.5	103.4	93.2	3.1	0	8.0		
19	2.713	64.74	0.0850	184.8	394	882	488	0.30	111.8	0.229	2.24	0.057	37.5	76.1	95.3	4.2	0	12.0		
20	2.710	64.99	0.1155	186.0	395	1046	651	0.37	155.1	0.238	2.65	0.060	39.3	56.3	96.7	5.8	0	21.0		
21	2.738	48.97	0.0258	138.6	395	571	176	0.55	59.9	0.340	1.45	0.026	30.5	190.2	82.1	1.1	0	3.5		
22	2.739	47.87	0.0435	135.2	394	764	370	0.34	79.7	0.215	1.94	0.025	30.6	110.1	102.9	2.3	0	5.0		
23	2.738	48.37	0.0619	136.7	394	906	511	0.27	105.8	0.207	2.30	0.026	31.8	78.0	102.5	3.3	0	8.0		

1976年9月24日(金) ライナAS-250B (第2回テスト)

 $T_b = 21.7^\circ\text{C}$ $P_a = 760.4 \text{ mmHg}$

No.	P_1 kg/cm ² abs	w_s kg/s	w_f kg/s	U_r m/s	T_1 K	T_2 K	ΔT deg K	δ_t	σ	$\sigma/\Delta T$ 1/deg K	T_4/T_1 K/K	$\Delta P/P_1$	ϕ	n	η_b %	備考		
																P_f kg/cm ² G	P M	
1000	1.178	3.575	0	1.819	306	305	—	—	—	1.00	0.078	41.2	—	—	—	—	—	—
2000	1.202	3.791	0	1.970	318	318	—	—	—	1.00	0.089	42.0	—	—	—	—	—	—
1	2.712	4.653	0.0406	11.25	334	687	353	0.24	62.7	0.178	2.06	0.020	30.9	114.1	1.005	2.1	0	4.5
2	2.708	4.736	0.0480	11.66	340	724	385	0.31	88.6	0.230	2.13	0.022	31.3	98.5	9.50	2.4	0	5.5
3	2.704	4.917	0.0615	12.24	343	856	513	0.21	72.7	0.142	2.50	0.024	31.6	80.0	104.7	3.3	0	7.7
4	2.709	4.830	0.0819	12.14	347	1012	665	0.30	103.6	0.156	2.95	0.024	32.7	58.9	102.9	4.4	0	12.0
5	1.844	4.653	0.0494	17.50	353	709	356	0.27	83.1	0.233	2.01	0.061	40.2	94.3	84.0	3.2	0	4.8
6	1.851	4.636	0.0612	17.49	356	803	447	0.26	96.2	0.215	2.26	0.062	41.0	75.7	86.0	4.0	0	6.1
7	1.828	4.656	0.0719	17.94	359	892	533	0.21	103.0	0.193	2.49	0.066	42.1	64.8	89.0	4.9	0	8.4
8	1.830	4.621	0.0934	17.91	361	1039	678	0.35	120.2	0.177	2.88	0.069	44.4	49.5	88.6	6.4	0	13.2
9	1.825	30.66	0.0385	11.99	364	807	443	0.27	62.3	0.141	2.22	0.026	38.2	79.5	89.5	2.7	0	3.5
10	1.798	3.107	0.0432	12.37	365	861	497	0.26	72.5	0.146	2.36	0.028	38.3	71.9	91.5	3.1	0	4.0
11	1.828	3.073	0.0528	12.06	366	959	594	0.26	90.6	0.153	2.62	0.027	38.9	58.3	90.0	3.7	0	5.1
90	1.850	3.319	0.0387	12.94	367	780	412	0.26	60.1	0.146	2.12	0.030	37.4	85.7	89.4	2.6	0	3.5
100	1.830	3.333	0.0432	13.16	368	824	456	0.27	67.7	0.148	2.24	0.031	38.4	77.1	89.5	3.0	0	4.0
110	1.808	3.354	0.0542	13.44	369	928	559	0.24	84.4	0.151	2.52	0.034	39.3	61.9	89.8	3.8	0	5.1
120	1.853	3.291	0.0644	12.91	371	1035	664	0.27	111.4	0.168	2.79	0.032	40.4	51.1	89.5	4.4	0	7.0
13	1.431	3.828	0.0385	19.57	373	733	360	0.30	78.3	0.218	1.97	0.076	42.2	99.5	90.2	3.4	10	1.5
14	1.456	3.803	0.0525	19.17	374	866	492	0.26	88.2	0.179	2.32	0.072	42.1	72.4	91.6	4.6	10	2.4
15	1.436	3.766	0.0762	19.38	376	1046	669	0.28	113.7	0.170	2.78	0.077	44.3	49.4	87.8	6.5	10	5.0
16	1.431	2.762	0.0317	14.26	376	828	452	0.42	103.9	0.230	2.20	0.037	39.6	87.2	100.1	3.1	20	0.9
17	1.430	2.777	0.0304	14.36	377	792	415	0.34	80.9	0.195	2.10	0.037	39.1	91.3	96.0	2.9	10	1.2
18	1.425	2.754	0.0371	14.29	377	877	500	0.30	85.5	0.171	2.33	0.038	40.6	74.4	95.7	3.5	10	1.5
19	1.445	2.749	0.0527	14.07	377	1021	644	0.28	106.9	0.166	2.71	0.037	40.4	52.2	88.8	4.6	10	2.4
190	1.440	2.763	0.0520	14.21	377	1026	649	0.28	104.1	0.160	2.72	0.038	40.9	53.1	90.8	4.6	10	2.4

{ 通風 }
注記

1976年11月4日(木) ライナAS-250B (第3回テスト) 7.5°回転状態

 $T_a = 18.4^\circ\text{C}$ $P_a = 75.71 \text{ mmHg}$

No.	P_1 kg/cm ² abs	w_a kg/s	w_f kg/s	U_r m/s	T_1 K	T_2 K	ΔT deg K	δ_t	σ	$\sigma / \Delta T$ $\frac{1}{\text{deg K}}$	T_2/T_1	$\Delta P/P_1$	ϕ	n	η_b %	$L_b \times 10^{-7}$ kcal/m ³ h atm	P_f kg/cm ² G	備考	
																		P	M
1000	1.224	4.164	0	2.029	304	0	-	-	-	1.00	0.100	4.22	-	-	-	-	-	0.8	$w_{fM} = 0$
2000	1.169	3.477	0	1.809	310	0	-	-	-	1.00	0.075	4.06	-	-	-	-	-	1.5	$w_{fM} = 0$
3000	1.117	2.749	0	1.506	312	0	-	-	-	1.00	0.049	3.88	-	-	-	-	-	2.4	$w_{fM} = 0$
4000	1.071	1.879	0	1.078	313	0	-	-	-	1.00	0.024	3.77	-	-	-	-	-	3.1	$w_{fM} = 0$
1	1.867	4.584	0.0474	1.646	342	793	452	0.38	735	0.163	2.32	0.055	3.98	9.67	11.00	3.9	1.0	3.0	
2	1.838	4.575	0.0567	1.735	355	873	518	0.30	810	0.156	2.46	0.058	3.94	8.06	10.66	4.6	1.0	3.5	
3	1.855	4.534	0.0640	1.681	351	958	607	0.40	107.9	0.178	2.73	0.057	4.02	7.09	11.12	5.4	1.0	5.0	
4	1.834	4.526	0.0861	1.731	358	1127	770	0.56	1.623	0.211	3.15	0.061	4.16	5.25	10.74	7.1	1.0	8.5	
5	1.816	4.604	0.0389	1.793	360	673	313	0.48	819	0.262	1.87	0.062	3.97	11.82	9.20	2.8	0	4.0	
6	1.851	4.449	0.0474	1.710	363	785	422	0.41	97.6	0.231	2.17	0.055	3.91	9.39	10.01	3.6	0	5.1	
7	1.838	4.516	0.0614	1.758	364	903	538	0.51	1.233	0.229	2.48	0.059	4.01	7.36	10.19	4.7	0	7.5	
8	1.837	4.505	0.0813	1.762	366	1066	700	0.50	1.415	0.202	2.91	0.061	4.09	5.54	10.24	6.4	0	13.0	
9	1.827	3.197	0.0255	1.258	366	724	357	0.19	423	0.118	1.98	0.029	3.80	12.56	11.17	2.2	1.0	1.5	
9.5	1.829	3.285	0.0343	1.297	368	830	462	0.18	55.2	0.119	2.26	0.029	3.66	9.60	11.22	3.0	1.0	1.9	
10	1.824	3.266	0.0432	1.289	367	928	561	0.25	71.6	0.128	2.53	0.030	3.74	7.57	10.91	3.6	1.0	2.2	
11	1.844	3.256	0.0484	1.277	369	994	626	0.32	86.6	0.138	2.70	0.029	3.74	6.73	10.94	4.0	1.0	3.0	
12	1.832	3.295	0.0598	1.302	369	1113	744	0.40	1.220	0.164	3.02	0.030	3.73	5.51	10.85	5.0	1.0	4.1	
13	1.838	3.275	0.0284	1.293	370	711	342	0.45	730	0.213	1.92	0.028	3.60	11.56	9.88	2.1	0	3.0	
14	1.848	3.255	0.0328	1.282	371	777	407	0.42	829	0.204	2.10	0.028	3.64	9.92	10.18	2.5	0	3.4	
15	1.840	3.286	0.0396	1.301	371	852	481	0.49	100.7	0.209	2.30	0.029	3.63	8.31	10.21	3.1	0	4.1	
16	1.831	3.266	0.0536	1.302	372	1012	640	0.51	1.250	0.195	2.72	0.030	3.76	6.09	10.20	4.2	0	6.2	
17	1.448	2.745	0.0298	1.384	372	862	491	0.28	78.9	0.161	2.32	0.035	3.86	9.20	11.51	3.3	2.0	0.8	
17.5	1.430	2.748	0.0257	1.405	372	796	424	0.29	65.7	0.155	2.14	0.035	3.78	10.71	11.47	2.9	1.5	0.8	
17.7	1.426	2.715	0.0192	1.394	373	736	363	0.26	55.8	0.154	1.97	0.035	3.87	14.18	12.82	2.4	1.0	0.8	
19	1.435	2.734	0.0277	1.398	374	809	435	0.21	59.8	0.137	2.16	0.035	3.82	9.85	10.84	2.9	1.0	1.2	
18	1.447	2.739	0.0338	1.388	374	888	515	0.21	71.0	0.138	2.38	0.034	37.9	8.10	10.71	3.5	1.0	1.4	
20	1.450	2.736	0.0484	1.385	374	1080	706	0.35	1.236	0.175	2.89	0.035	3.92	5.65	10.55	4.9	1.0	2.4	
21	1.441	2.736	0.0172	1.404	377	610	234	0.59	64.2	0.274	1.62	0.034	3.72	15.93	8.26	1.4	0	1.9	
22	1.426	2.728	0.0281	1.411	376	767	392	0.50	99.0	0.253	2.04	0.036	3.84	9.70	9.61	2.7	0	2.4	
23	1.438	2.721	0.0360	1.395	376	875	499	0.53	1.246	0.250	2.33	0.035	3.86	7.54	9.70	3.4	0	3.1	
24	1.448	2.711	0.0463	1.379	375	1008	632	0.59	1.660	0.263	2.69	0.035	3.92	5.86	9.73	4.4	0	4.3	

航空宇宙技術研究所資料 328号

昭和 52 年 4 月 発行

発 行 所 航 空 宇 宙 技 術 研 究 所
東 京 都 調 布 市 深 大 寺 町 1880
電 話 武 蔵 野 三 鷹 (0422)47-5911(大 代 表) 182

印 刷 所 株 式 会 社 東 京 プ レ ス
東 京 都 板 橋 区 横 川 2~27~12

Printed in Japan

This document is provided by JAXA.